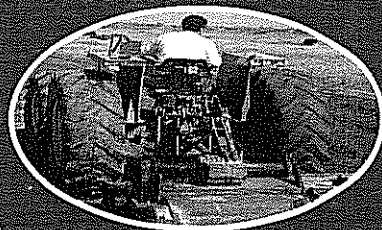


1^ο Εθνικό Συνέδριο ΓΕΩΡΓΙΚΗΣ ΜΗΧΑΝΙΚΗΣ

ΤΟΜΟΣ
ΕΙΣΗΓΗΣΕΩΝ



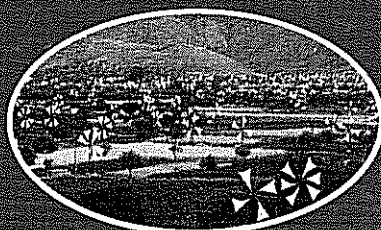
ΓΕΩΡΓΙΚΑ
ΜΗΧΑΝΗΜΑΤΑ



ΕΔΑΦΟΣ
ΝΕΡΟ

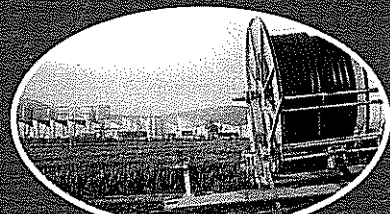


ΓΕΩΡΓΙΚΑ
ΚΤΙΡΙΑ



ΕΠΕΞΕΡΓΑΣΙΑ ΠΡΟΪΟΝΤΩΝ-
ΑΠΟΒΛΗΤΑ-ΑΠΟΡΡΙΜΑΤΑ

ΕΝΕΡΓΕΙΑ



ΕΤΑΙΡΕΙΑ
ΓΕΩΡΓΙΚΩΝ

**1^ο Εθνικό Συνέδριο
ΓΕΩΡΓΙΚΗΣ ΜΗΧΑΝΙΚΗΣ**

ΤΟΜΟΣ ΕΙΣΗΓΗΣΕΩΝ

1998

ΕΤΑΙΡΕΙΑ ΓΕΩΡΓΙΚΩΝ ΜΗΧΑΝΙΚΩΝ ΕΛΛΑΔΟΣ

ΕΠΙΜΕΛΕΙΑ ΕΚΔΟΣΗΣ: Βίκη Παπανικολάου

ART DIRECTOR: Ρούλα Τζιωρτζιώτη

ΣΤΟΙΧΕΙΟΘΕΣΙΑ: ΑΘΩΣ

FILM: bp Studios

ΕΚΤΥΠΩΣΗ: ΚΥΛΙΝΔΡΟΣ ΑΕΒΕ

ΕΚΔΟΣΗ 1998

©ΑΘΩΣ

Στ. Παπανικολάου 10Α • Κορωπί 194 00

Τηλ. 662.79.81 • Fax: 662.37.58



ΤΟΜΟΣ ΕΙΣΗΓΗΣΕΩΝ

1ον ΕΘΝΙΚΟΥ ΣΥΝΕΔΡΙΟΥ ΓΕΩΡΓΙΚΗΣ ΜΗΧΑΝΙΚΗΣ

1η ΜΕΡΑ - Παρασκευή 11 Δεκεμβρίου 1998

Αίθουσα Α

- ◆ Γεωργικά Μηχανήματα και Παραγωγή Ισχύος
- ◆ Ενέργεια και Γεωργία

Αίθουσα Β

- ◆ Έδαφος & Νερό - Περιβάλλον
- ◆ Γεωργικά Κτίρια

2η ΜΕΡΑ - Σάββατο 12 Δεκεμβρίου 1998

Αίθουσα Α

- ◆ Επεξεργασία Προϊόντων - Απόβλητα - Απορρίματα
- ◆ Γεωργικά Μηχανήματα και Παραγωγή Ισχύος

Αίθουσα Β

- ◆ Έδαφος & Νερό - Περιβάλλον

Οργανωτική Επιτροπή

Δρ. Γ. Παπαδάκης (Πρόεδρος)

Δρ Ν. Δαναλάτος

Δρ Ν. Δέρκας

Ν. Κουτσοβίτης

Δρ Α. Μιστριώνης

Δρ Π. Παναγάκης

Επιστημονική Επιτροπή

Σ. Κυρίτος (Πρόεδρος)

Γ. Παπαδάκης (Αντιπρόεδρος)

Δρ Κ.-Β. Ακριτίδης

Δρ Π. Αξαόπουλος

Δρ Σ. Βάλμης

Δρ Β. Βασιλάτος

Δρ Φ. Γέρμπτος

Δρ Δ. Γεωργακάκης

Δρ Ν. Δαλέζιος

Δρ Ν. Δαναλάτος

Δρ Ν. Δέρκας

Δρ Π. Καρακατσούλης

Δρ Κ. Καρύτσας

Δρ Κ. Κίττας

Δρ Ι. Κόκκορας

Δρ Γ. Λαμπρινός

Δρ Μ. Σακελλαρίου - Μακραντωνάκη,

Δρ Γ. Μαρτζόπουλος

Δρ Χ. Μαρτζοπούλου

Δρ Γ. Μαυρογιαννόπουλος

Δρ Ι. Μήτσιος

Δρ Δ. Μπριαστούλης

Δρ Χ. Μπαμπατζιμόπουλος

Α. Παπαγιαννοπούλου

Δρ Γ. Παρισόπουλος

Δρ Γ. Πιτσιλής

Δρ Α. Πουλοβασίλης

Δρ Ν. Σιγρίμης

Δρ Μ. Σκαρβέλας

Δρ Χ. Σούτερ

Δρ Γ. Τερζίδης

Δρ Χ. Τζιμόπουλος

Δρ Κ. Τσατσαρέλης

ΤΟΜΟΣ ΕΙΣΗΓΗΣΕΩΝ - ΠΕΡΙΕΧΟΜΕΝΑ

1η ΕΝΟΤΗΤΑ

ΓΕΩΡΓΙΚΑ ΜΗΧΑΝΗΜΑΤΑ ΚΑΙ ΠΑΡΑΓΩΓΗ ΙΣΧΥΟΣ

Σύστημα Δοκιμών Διατάξεων Προστασίας σε Περίπτωση Ανατροπής Ελκυστήρων	11
Πόθος Π., Αντωνούλας Γ., Σεραελούδης Χ., Παρισόπουλος Γ.	
Μηχανοσυλλογή Βαρβακιού σε Στενές Αποστάσεις μεταξύ Γραμμών Σποράς	21
Μπαρτζιάλης Δ., Γαλανοπούλου-Σενδουκά Σ.	
Βελτίωση του Βαθμού Απόδοσης Φυγόκεντρης Αντλίας με Προέκταση των Πτερυγίων	27
Ακριτίδης Κ., Καλοκάστης Π.	
Επανασκεδιασμός με σκοπό τη Μείωση του Κόστους Παραγωγής Δισκοσβάρνας	35
(Εργοστασίου Σάμπρη)	
Τσιρίκογλου Θ., Γέρμος Θ.	
Ο Σχεδιασμός και η Κατασκευή του Νέου Αρότρου TERRA 2000.	47
Κούγκουλος Αθ., Μπαλουκτής Σ., Κατσής Χρ., Γέρμος Θ.	
Σήμανση CE για τα Γεωργικά Μηχανήματα - Κατάρτιση Τεχνικού Φακέλου.	53
Παπαγιαννοπούλου Α., Παρισόπουλος Γ.	
Το Ηλεκτρονικό Εμπόριο στις Ελληνικές Επιχειρήσεις Γεωργικών Μηχανημάτων	63
Κωστοπούλου Κ., Σιδερίδης Α.	
Απώλειες κατά τη Μηχανική Συγκομιδή των Ζαχαροτεύτλων στην Θεσσαλία.	71
Στοιχεία 1996	
Γέρμος Θ., Δέρμης Βλ., Αλεξάνδρου Αθ., Καραμούτης Χρ.	
Καλλιέργεια Επισπόρου Αραβοσίτου με το Σύστημα της Κατευθείαν Σποράς.	81
Λιθουργίδης Α., Τσατσαρέλης Κ.	
Καλλιέργεια Βαρβακιού σε Ανακώματα: Μια Εναλλακτική Μέθοδος.	89
Σταθάκος Θ., Γέρμος Θ.	
Προβλήματα Διαχείρισης και Κατασκευής Γεωργικών Μηχανημάτων	101
Νάτσης Θ.	

2η ΕΝΟΤΗΤΑ

ΕΝΕΡΓΕΙΑ ΚΑΙ ΓΕΩΡΓΙΑ

Τύποι, Εξοπλισμός, Ενεργειακή Αξιολόγηση και Δυνατότητες Εξοικονόμησης 109
Ενέργειας στα Θερμοκίπια της Μαγνησίας
Μπαρτζάνας Θ., Γιαγλάρας Π., Κίττας Κ.

Θέρμανση και Δροσισμός Θερμοκηπίων με Συστήματα Συνδιασμού 121
Γεώτρηση/Αντλίας Θερμότητος
Καρύτσας Κ.

Πειραματική μελέτη και αξιολόγηση φωτοβολταϊκού συστήματος άντλησης 129
νερού με αντλία θετικής μετατόπισης
Καλλιβρούσης Λ., Μανωλάκος Δ., Παπαδάκης Γ.

Τυποποίηση και Συναφείς Δραστηριότητες 145
Γκιδώνας Γ.

3η ΕΝΟΤΗΤΑ

ΓΕΩΡΓΙΚΑ ΚΤΙΡΙΑ

Φορτία Ανέρου σε Θερμοκίπια 153
Μπριασούλης Δ., Τσιρογιάννης Γ., Μυστριώτης Α.

Προσδιορισμός του Βαθμού Αερισμού σε Διπλό Τοξωτό Θερμοκίπιο 165
Βασιλείου Ν., Νικήτα-Μαρτζόπουλου Χ., Μαρτζόπουλος Γ.

Πειραματικός Προσδιορισμός του Ολικού Συντελεστή Απωλειών 185
Θερμότητας σε ένα Πλαστικό Θερμοκίπιο
Κατσούλας Ν., Μπαρτζάνας Θ., Κίττας Κ.

Ρύθμιση του Περιβάλλοντος των Μεσογειακών Θερμοκηπίων: 195
Πρακτικές και Προοπτικές
Μπαρτζάνας Θ., Baile A., Κίττας Κ.

4η ΕΝΟΤΗΤΑ

ΕΠΕΞΕΡΓΑΣΙΑ ΠΡΟΪΟΝΤΩΝ - ΑΠΟΒΛΗΤΑ - ΑΠΟΡΡΙΜΑΤΑ

Μέσα Μεταφοράς Φθαρτών Ελληνικών Αγροτικών Προϊόντων:	209
Προβλήματα και Προοπτικές	
Νάνος Γ.	
Παράγοντες που Επηρεάζουν την Αφυδάτωση κατά την Κατάψυξη	219
Μπιρόπουλος Δ., Λαμπρινός Γ.	
Εφαρμογή στο Τεθαφος Απορριμάτων Παραγομένων κατά τον Εκκοκκασμό	229
του Βαρβακιού και την Χημική Αποχνώση του Βαμβακόσπορου	
Χουλιαράς Ν., Γέρμιος Θ., Δουλουδής Ι.	

5η ΕΝΟΤΗΤΑ

ΕΔΑΦΟΣ & ΝΕΡΟ - ΠΕΡΙΒΑΛΛΟΝ

Συστήματα Τηλεπισκόπησης στα Σύγχρονα Αρδευτικά Δίκτυα	239
Ευφραιμίδης Α.	
Απλή Μέθοδος Μέτρησης της Παροχής σε Τραπεζοειδείς Ελευθέρους Καταβαθμιών ..	247
Τερζίδης Γ., Αναστασιάδης-Παρθενίου Ε., Χατζηγιαννάκης Ε.	
Συμβολή στον Ορδολογικό Σκεδιασμό της Στάγδην Αρδευσης με Βάση	259
την Κινητική της Διαβροχής από Γραμμική Επιφανειακή Πηγή	
Ελμαλόγλου Σ., Μαλάμος Μ.	
Μελέτη Διατάξεων Αρδευσης με Σταγόνες στην Καλλιέργεια των Ζαχαροτεύλων ..	271
Σακελλαρίου Μ., Μασλάρης Ν., Καλφούντζης Δ., Γούλας Χ.	
Διόδηση προς Κεκλιμένο Υδροφορέα από Υδατόρευμα	281
με βαθμαία Μεταβαλλόμενη Στάθμη	
Τελόγλου Η., Ζήσης Θ., Τερζίδης Γ.	
Διαστασιολόγηση Ταμευτήρα του Καβουρόλακκα Χαλκιδικής	291
Παπαμιχαήλ Δ., Γεωργίου Π., Καραμούζης Δ., Παρισόπουλος Γ.	
Συγκριτική Αξιολόγηση Μοντέλων Πρόβλεψης της Υδραυλικής Αγωγιμότητας ..	303
Τσιμόπουλος Χ., Αραμπατζής Γ.	

Διαχείριση Υδάτων της Υδρολογικής Λεκάνης του Ποταρού Αχελώου.	313
Κατάντη του Φράγματος Στρατού Τζιμόπουλος Χ., Σπυρίδης Α.	
Διαχείριση του Υδροφορέα της Λεκάνης του Αξιού με τη Βούθεια	325
Γεωγραφικού Συστήματος Πληροφοριών Κουτάλου Β., Γιαννόπουλος Στ., Τζιμόπουλος Χ., Αρβανίτης Απ., Τσακίρη Μ.	
Εδαφικές ρωγματώσεις και καδικήσεις από την πτώση στάδιμης	335
των υπογείων νερών της λεκάνης της τέως λίμνης Κάρλας του Ν. Λαρίσης Μημίδης Μ.Θ., Αγγελίδης Σ.Μ., Χαλκίδης Ν.Η.	
Αυτόματη Ρύθμιση του Μαθηματικού Μοντέλου της Πεδιάδας Πιερίας	347
Καβαλιεράτου Σ., Μπαρμπατζιμόπουλος Χ., Τερζίδη Γ.	
Εκτίμηση της Επίδρασης των Μεθόδων Κατεργασίας του Εδάφους,	357
της Φυτοκάλυψης και της Κατεύθυνσης Σποράς του Βαρβακιού, στην Διάβρωση του Εδάφους Τερζούδη Χ., Γέρμος Θ.	
Διαχείριση Νερού και Αζωτούχου Λίπανσης σε Καλλιέργεια Αραβισίτου	367
με το Μοντέλο WANISIM Αντωνόπουλος Β., Παυλάτου-Βε Α.	
Χρήση Μεθόδων Μειωμένων Εισροών για την Κατεργασία του Εδάφους.	377
στην Καλλιέργεια του Καλαμποκιού Καβαλάρης Χ., Γέρμος Θ., Γεωργίου Χ., Κουρκούτας Μ.	
Η επίδραση της Χρήσης Γης στην Υποβάθμιση του εδάφους	389
Δαναλάτος Ν.Γ., Κοσμάς Κ., Γεροντίδης Σ.τ., Μαραθιανού Μ.	

2η ΕΝΟΤΗΤΑ

ΕΝΕΡΓΕΙΑ ΚΑΙ ΓΕΩΡΓΙΑ

Προεδρείο: Γ. Μαρτζόπουλος, Χ. Σούτερ

Συγγραφείς: Θ. Μπαρτζάνας, Π. Γιαγλάρας, Κ. Κίττας

Κ. Καρύτσας

Λ. Καλλιβρούσης, Δ. Μανωλάκος, Γ. Παπαδάκης

Γ. Γκιδώνας

ΤΥΠΟΙ, ΕΞΟΠΛΙΣΜΟΣ, ΕΝΕΡΓΕΙΑΚΗ ΑΞΙΟΛΟΓΗΣΗ ΚΑΙ ΔΥΝΑΤΟΤΗΤΕΣ ΕΞΟΙΚΟΝΟΜΗΣΗΣ ΕΝΕΡΓΕΙΑΣ ΣΤΑ ΘΕΡΜΟΚΗΠΙΑ ΤΗΣ ΜΑΓΝΗΣΙΑΣ

Θ. Μπαρτζάνας¹, Π. Γιαγλάρας², Κ. Κίττας¹

¹Πανεπιστήμιο Θεσσαλίας, Τμήμα Γεωπονίας Φυτικής και Ζωικής Παραγωγής, Βόλος

²Ενεργειακό Κέντρο Ν.Α. Λάρισας, Κτίριο Νομαρχίας, Λάρισα

ΠΕΡΙΛΗΨΗ

Στην εργασία αυτή καταχράφονται και αξιολογούνται ενεργειακά τα θερμοκήπια της Μαγνησίας και εκτιμώνται οι δυνατότητες εξοικονόμησης ενέργειας για τη θέρμανση τους. Συγκεντρώθηκαν στοιχεία σχετικά με την κατασκευή, τον εξοπλισμό, την καλλιέργεια και την κατανάλωση ενέργειας των θερμοκηπίων και εκτιμήθηκε, με τη βοήθεια του λογισμικού HORTICERN, η θεωρητική κατανάλωση ενέργειας και η εξοικονόμηση που μπορεί να επιτευχθεί με τη βελτίωση του εξοπλισμού και τη χρήση συστημάτων εξοικονόμησης ενέργειας.

Το 81.2% των εκτάσεων των θερμοκηπίων της Μαγνησίας θερμαίνονται και γι' αυτό το σκοπό καταναλώνονται ετησίως 42.202 GJ, το 84% των οποίων προέρχονται από υγρά καύσιμα. Στις περισσότερες περιπτώσεις, οι πραγματικές καταναλώσεις ενέργειας είναι πολύ χαμηλότερες των θεωρητικά υπολογιζόμενων. Με την εγκατάσταση θερμοκουρτίνας, σε όσα θερμοκήπια προσφέρονται για αυτή την επέμβαση, επιτυγχάνεται 14,4% μείωση της σημερινής ενέργειακής κατανάλωσης της θέρμανσης των θερμοκηπίων της Μαγνησίας. Με τα σημερινά όμως οικονομικά δεδομένα αυτού του είδους η επένδυση δεν είναι συμφέρουσα παρά μόνο για πολύ μικρό αριθμό θερμοκηπίων.

ABSTRACT

Those characteristics of all the greenhouses of the region of Magnesia (East Central Greece) related to their heating energy consumption were assessed. Real heating energy consumptions were compared to values estimated using the software HORTICERN and several energy saving scenarios were tested (modifications in the construction, thermal screens, etc).

In Magnesia, heated greenhouses represent the 81.2% of the greenhouse area and 42.202 GJ of primary energy are used per year for their heating using mainly (84 %) conventional liquid fuels. Real consumptions are by far lower than theoretical ones. 14,4% of heating energy can be saved using thermal screens in all greenhouses that can accept such equipment, but in the current economic and energetic context this kind of investment is feasible for a very low number of greenhouses.

ΕΙΣΑΓΩΓΗ

Οι ήπιες κλιματικές συνθήκες της Μαγνησίας ευνοούν την εγκατάσταση θερμοκηπιακών καλλιεργειών. Παρά όμως τις αισιόδοξες αρχικές προβλέψεις η κακή οργάνωση των θερμοκηπιακών επιχειρήσεων και οι ανεπαρκείς εγκαταστάσεις σε συνδιασμό με την αύξηση του κόστους παραγωγής και τα υψηλά επιτόκια δανεισμού έφεραν πολλές μιούντες σε οικονομικό αιδεέξοδο.

Η κατανάλωση ενέργειας για θέρμανση αποτελεί έναν σημαντικό παράγοντα κόστους για τις περισσότερες θερμοκηπιακές καλλιέργειες της περιοχής. Η εξοικονόμησή της, εκτός από τα περιβαλλοντικά οφέλη και τις ευεργετικές συνέπειες για την επίτευξη των στόχων της εθνικής μας ενεργειακής πολιτικής, μπορεί να συμβάλλει σημαντικά στην μείωση του κόστους παραγωγής και στην αύξηση της ανταγωνιστικότητας των παραγώμενων προϊόντων.

Τελικός στόχος της παρούσας εργασίας είναι η αξιολόγηση της δυνατότητας εξοικονόμησης ενέργειας που χρησιμοποιείται για τη θέρμανση των θερμοκηπίων της Μαγνησίας. Για αυτό το σκοπό αποτυπώθηκε αρχικά το δυναμικό των θερμοκηπιακών μονάδων του νομού Μαγνησίας, στην συνέχεια αξιολογήθηκαν ενεργειακά τα θερμαινόμενα θερμοκήπια και τέλος εκτιμήθηκε θεωρητικά η εξοικονόμηση που μπορεί να επιτευχθεί με την χρήση εφαρμοσμένων λύσεων εξοικονόμησης ενέργειας σε αυτά τα θερμοκήπια.

ΜΕΘΟΔΟΛΟΓΙΑ

Καταγραφή των θερμοκηπιακών μονάδων

Σκοπός της καταγραφής των θερμοκηπιακών μονάδων του νομού Μαγνησίας ήταν να συγκεντρωθούν τα απαραίτητα στοιχεία για την ενεργειακή αξιολόγηση των θερμοκηπίων και να διαπιστωθεί η γενικότερη κατάσταση των θερμοκηπίων της περιοχής.

Η καταγραφή έγινε με την μέθοδο της απογραφής, δηλαδή συγκεντρώθηκαν στοιχεία από όλες τις στατιστικές μονάδες του υπό εξέταση πληθυσμού. Η συγκέντρωση των στοιχείων έγινε με επίσκεψη της κάθε μονάδας ξεχωριστά και την συμπλήρωση κατάλληλα διαμορφωμένου ερωτηματολογίου. Ειδικότερα τα στοιχεία του ερωτηματολογίου αφορούν :

- την κατασκευή: εκτάσεις, ηλικία, τύπος και διαστάσεις θερμοκηπίων, υλικά σκελετού και κάλυψης, κ.α.
- τον εξοπλισμό: εξαερισμός, θέρμανση, άρδευση, σκίαση και θερμοκουρτίνα
- την καλλιέργεια: καλλιεργούμενα είδη, περίοδοι καλλιέργειας, παραγώμενες ποσότητες, αγορά πώλησης, κ.α.
- το κόστος παραγωγής: προσωπικό, χρόνος αντικατάστασης πλαστικού, ποσότητα - κόστος καινύμου, κόστος καλλιέργειας, κ.α.

Η επεξεργασία των στοιχείων της απογραφής αποσκοπούσε αρχικά στην αποτύπωση του δυναμικού των κλάδου των θερμοκηπίων και της κατασκευαστικής και ενεργειακής ποιότητας των χρησιμοποιούμενων θερμοκηπίων. Ιδιαίτερη βαρύτητα δόθηκε στα θερμαινόμενα θερμοκήπια και στα χρησιμοποιούμενα συστήματα θέρμανσης.

Ενεργειακή αξιολόγηση των θερμοκηπιακών γεωργικών εκμεταλλεύσεων

Για την ενεργειακή αξιολόγηση των θερμοκηπιακών εκμεταλλεύσεων χρησιμοποιήθηκαν τέσσερεις δείκτες:

- Δείκτης A: Πραγματική Ειδική κατανάλωση Ενέργειας για θέρμανση
- Δείκτης B: Θεωρητική Ειδική Κατανάλωση Ενέργειας για θέρμανση
- Δείκτης Γ: Διαφορά Πραγματικής-Θεωρητικής Ειδικής Κατανάλωσης Ενέργειας για θέρμανση
- Δείκτης Δ: Αποδοτικότητα (ή Παραγωγικότητα) της Ενέργειας.

Δείκτης A: Πραγματική Ειδική κατανάλωση ενέργειας

Πρόκειται για την κατανάλωση ενέργειας ανά μονάδα καλυπτένου εδάφους. Όταν οι συνθήκες του εξωτερικού κλίματος και οι επιθυμητές συνθήκες στο εσωτερικό του θερμοκηπίου ταυτίζονται τότε η ειδική κατανάλωση ενέργειας κάθε θερμοκηπίου εξαρτάται από τον προσανατολισμό, το σχήμα, τον εξοπλισμό και τα υλικά κατασκευής. Σε αυτή τη περίπτωση αποτελεί ένα δείκτη ενεργειακής ποιότητας της κατασκευής.

Στην περίπτωσή μας όμως ενώ το εξωτερικό κλίμα διαφέρει ελάχιστα από το ένα θερμοκηπίο στο άλλο, αναμένεται ότι θα υπάρχουν σημαντικές διαφορές όσον αφορά τις εσωτερικές επιθυμητές συνθήκες, τους τρόπους και τα συστήματα που εφαρμόζει ο κάθε παραγωγός να τις διαμορφώσει αλλά και το είδος και το χρονοδιάγραμμα της κάθε καλλιέργειας. Οι διαφορές στις ειδικές καταναλώσεις ενέργειας μεταξύ διαφορετικών θερμοκηπίων θα συμπεριλαμβάνουν συνεπώς εκτός από την επίδραση των κατασκευαστικών χαρακτηριστικών και την επίδραση του τρόπου διαχείρισης του συστήματος από τους παραγωγούς.

Δείκτης B: Θεωρητική Ειδική Κατανάλωση Ενέργειας

Αυτός ο δείκτης χρησιμοποιήθηκε για την απομόνωση της επίδρασης των κατασκευαστικών χαρακτηριστικών και του εξοπλισμού από όλες τις άλλες πηγές παραλλακτικότητας της ειδικής κατανάλωσης ενέργειας για θέρμιανση των θερμοκηπίων που δεν σχετίζονται με την κατασκευή.

Για κάθε τύπο θερμοκηπίου, υπολογίστηκε η κατανάλωση ενέργειας που θα είχε θεωρητικά το θερμοκηπίο αν διατηρούνταν σε αυτό σταθερή θερμοκρασία του αέρα την νύκτα 15°C καθόλη τη διάρκεια του χειμώνα. Με θερμοκρασία του αέρα την νύκτα της τάξεως των 15°C η ανάπτυξη των περισσότερων ανθοκομικών ειδών είναι ικανοποιητική. Για αυτό το σκοπό χρησιμοποιήθηκε το λογισμικό HORTICERN [1].

Η θεωρητική ειδική κατανάλωση πρωτογενούς ενέργειας κάθε θερμοκηπίου υπολογίστηκε από τον λόγο της θεωρητικής κατανάλωσης ενέργειας προς την συνολική του επιφάνεια εδάφους.

Δείκτης Γ: Διαφορά Πραγματικής-Ειδικής κατανάλωσης ενέργειας

Σύμφωνα με τα παραπάνω, η θεωρητική ειδική κατανάλωση ενέργειας αναμένεται να είναι μεγαλύτερη από την πραγματική γιατί η πρώτη αφορά την διατήρηση ιδανικών συνθηκών ανάπτυξης στο εσωτερικό του θερμοκηπίου καθόλη τη διάρκεια του χειμώνα. Αυτό όμως δεν συμβιάνει ποτέ στην πραγματικότητα είτε σκόπιμα για να μειωθεί η ενέργειακή κατανάλωση της θέρμιανσης είτε μη σκόπιμα γιατί για παράδειγμα η ισχύς του συστήματος θέρμιανσης δεν επιτρέπει πάντα την επίτευξη των επιθυμητών συνθηκών. Βέβαια σε όλα αυτά υποθέτουμε ότι ο υπολογισμός της θεωρητικής κατανάλωσης ενέργειας γίνεται με μεγάλη ακρίβεια.

Κατά συνέπεια όσο μικρότερη είναι πραγματική κατανάλωση από την θεωρητική τόσο πιο απαλληλες για την ανάπτυξη των φυτών θα είναι οι συνθήκες που θα διατηρούνται στο θερμοκηπίο ή τόσο μικρότερη θα είναι η διάρκεια της πραγματικής περιόδου θέρμιανσης. Αντίθετα όσο μεγαλύτερη είναι η πραγματική ειδική κατανάλωση τόσο πιο πιθανό είναι είτε ο παραγωγός να εδωσε ανακριβή στοιχεία είτε το θερμοκηπίο να παρουσιάζει κατασκευαστικές ατελειες, είτε να μην γίνεται ορθολογική χρήση της ενέργειας.

Τα διαθέσιμα στοιχεία δεν επιτρέπουν βέβαια τον εντοπισμό των λόγων που συντρέχουν στη διαφοροποίηση της πραγματικής από την θεωρητική κατανάλωση ενέργειας. Η μελέτη όμως της απόκλισης μεταξύ των δύο έχει ιδιαίτερη αξία κυρίως στην περίπτωση όπου η πραγματική κα-

τανάλωση είναι μεγαλύτερη από την θεωρητική επειδή με αυτό τον τρόπο μπορούν να εντοπιστούν οι ενεργειοβόρες και μη αποτελεσματικές θερμοκηπιακές μονάδες.

Δείκτης Δ: Αποδοτικότητα (ή παραγωγικότητα) της ενέργειας

Θεωρητικά ισούται με τον λόγο της επίσιας ποσότητας των παραγώμενων προϊόντων προς την καταναλούμενη ενέργεια για την παραγωγή της. Το αντίστροφο αυτού του δείκτη καλείται ενεργειακό κόστος του παραγώμενου προϊόντος [2].

Στην παρούσα μελέτη χρησιμοποιήθηκε ο λόγος της συνολικής επήσιας παραγωγής του κάθε θερμοκηπίου προς την ενέργεια που καταναλώθηκε για την θέρμανση. Αυτός ο δείκτης έχει νόημα συνεπώς μόνο για τα θερμαινόμενα θερμοκηπία ενώ παράλληλα παραβλέπεται το γεγονός ότι ένας μέρος της δηλωθείσας παραγωγής μπορεί να πραγματοποιήθηκε χωρίς την χρήση της θέρμανσης (π.χ. παραγωγή από Φεβρουάριο έως Σεπτέμβριο η οποία δηλώθηκε στη συνολική παραγωγή της μονάδας).

Αυτός ο δείκτης αποτελεί ένα μέσο συνολικής αξιολόγησης όλου του συστήματος παραγωγής λαμβάνωντας υπόψη τόσο την ενεργειακή όσο και την καλλιεργητική και εμπορική διαχείριση. Με δεδομένο το γεγονός ότι στα θερμαινόμενα θερμοκηπία η κατανάλωση ενέργειας για θέρμανση αντιπροσωπεύει το 70-90% του ενεργειακού κόστους των προϊόντων μπορεί αυτός ο δείκτης να χρησιμοποιηθεί και για τη σύγκριση μεταξύ διαφορετικών παραγωγικών συστημάτων.

Δυνατότητες εξοικονόμησης ενέργειας.

Η μελέτη των δυνατότητων εξοικονόμησης ενέργειας αφορούσε μόνο τη θερμαινόμενα θερμοκηπία και μόνο την ενέργεια της θέρμανσης. Συγκεκριμένα αξιολογήθηκαν οι δυνατότητες εξοικονόμησης με επεμβάσεις που αφορούν :

- τα κατασκευαστικά χαρακτηριστικά (π.χ. υλικό κάλυψης, κ.α.)
- τον εξοπλισμό (π.χ. συστήματα θέρμανσης, θερμοκουρτίνες, κ.α.)

Για αυτό το σκοπό χρησιμοποιήθηκε το λογισμικό HORTICERN και συγκεκριμένα υπολογίστηκε για κάθε θερμοκηπίο η ποσοστιαία θεωρητική (ή δυνητική) εξοικονόμηση ενέργειας που θα επιτευχθεί σύμφωνα με το λογισμικό με την εφαρμογή σε αυτό των προτεινόμενων επεμβάσεων. Δηλαδή, ο λόγος της θεωρητικής κατανάλωσης προς την επέμβαση μείον την θεωρητική κατανάλωση μετά την επέμβαση προς την θεωρητική κατανάλωση προς την επέμβαση.

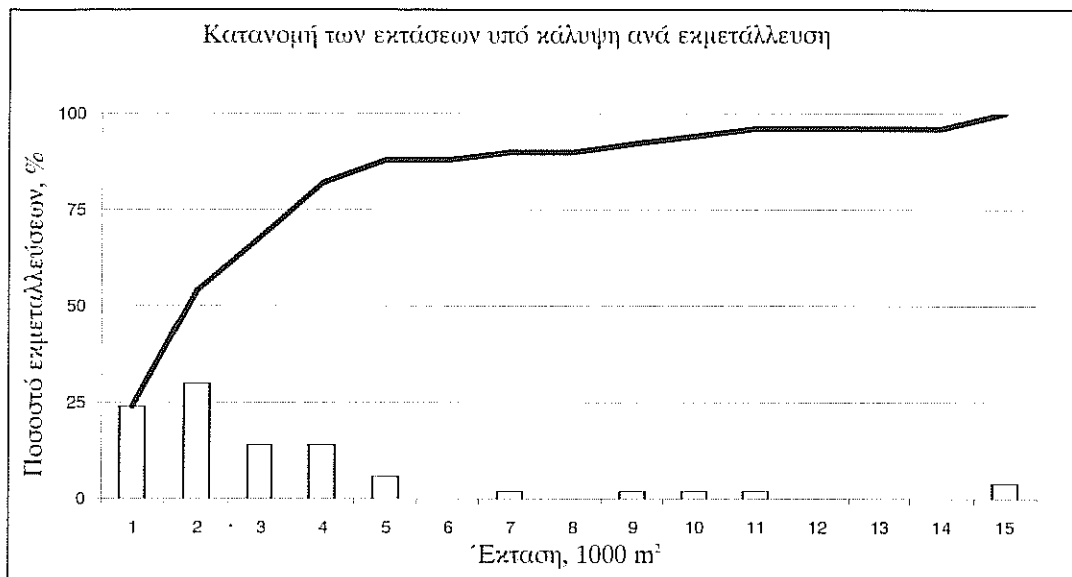
Η πραγματική απόλυτη εξοικονόμηση ενέργειας για κάθε θερμοκηπίο και είδος επέμβασης εκτιμήθηκε πολλαπλασιάζοντας την αντίστοιχη ποσοστιαία θεωρητική εξοικονόμηση προς την πραγματική σημερινή κατανάλωση ενέργειας του θερμοκηπίου.

ΑΠΟΤΕΛΕΣΜΑΤΑ

Η κατάσταση των θερμοκηπιακών μονάδων στη Μαγνησία

Αριθμός εκμεταλλεύσεων-Εκτάσεις-Καλλιεργούμενα Είδη

Αυτή τη στιγμή στο νομό Μαγνησίας υπάρχουν 50 γεωργικές εκμεταλλεύσεις που διαθέτουν 165 θερμοκηπία (μονάδες) συνολικής έκτασης 159.300 m². Στο 94% των εκτάσεων καλλιεργούνται ανθοκομικά γλαστρικά φυτά. Η αποκειμενική καλλιέργεια της γαρδενίας καταλαμβάνει το 40% των εκτάσεων, ενώ στο 14% αυτή συγκαλλιέργειται με άλλα γλαστρικά είδη. Η πλειοψηφία των θερμοκηπίων συγκεντρώνεται στις περιοχές Βόλου, Αγριάς, Λεχωνίων, Αλμυρού και Βελεστίνου.



Σχήμα 1. Κατανομή των εκτάσεων των θερμοκηπίων της Μαγνησίας ανά γεωργική εκμετάλλευση

Η μέση έκταση των θερμοκηπίων ανά εκμετάλλευση που υπολογίζεται διαιρώντας την συνολική έκταση προς τον αριθμό των εκμεταλλεύσεων είναι 3.190 m² ανά εκμετάλλευση. Στο σχήμα 1 οίμως βλέπουμε ότι η κατανομή των εκτάσεων ανά εκμετάλλευση ακολουθεί μια συνάρτηση τύπου γ, δηλαδή οι περισσότερες εκμεταλλέυσεις διαθέτουν μικρής έκτασης θερμοκήπια. Το 50% των εκμεταλλεύσεων διαθέτει θερμοκήπια μικρότερα από 2.000 m² και το 80% μικρότερα από 5.000 m².

Τύποι και υλικά σκελετού και κάλυψης.

Το 88% της έκτασης των θερμοκηπίων της Μαγνησίας αφορά μεταλλικά (83% γαλβανισμένος οιδηρός και 5% αλουμίνιο) και το 12% ξύλινα.

Το 71,1% της έκτασης των μεταλλικών θερμοκηπίων είναι αμφίδρικα (απλά 8,9% και πολλαπλά 91,1%), το 18,8% τοξωτά και το 10,1% απλά και πολλαπλά τροποποιημένα τοξωτά. Τα αμφίδρικα μεταλλικά θερμοκήπια είναι στην πλειοψηφία τους (84% της έκτασης) καλυμμένα με γυαλί στα πλαϊνά και στην οροφή. Στα υπόλοιπα (16%) χρησιμοποιείται μονό πολυαιθυλένιο. Τα τροποποιημένα τοξωτά και τα τοξωτά είναι καλυμμένα ώς επί το πλείστον με μονό πολυαιθυλένιο εκτός από 2 σύγχρονα τροποποιημένα τοξωτά (3000 m² το καθένα) που είναι και τα δύο καλυμμένα με γυαλί στα πλαϊνά, ενώ στην οροφή το ένα έχει μονό και το άλλο διπλό πολυαιθυλένιο.

Τα ξύλινα θερμοκήπια είναι αμφίδρικα (απλά 58%, πολλαπλά 42%) και είναι όλα καλυμμένα με μονό πολυαιθυλένιο.

Πίνακας 1. Τύποι και υλικά κάλυψης των θερμαινόμενων θερμοκηπίων

Τύπος Θερμοκηπίου	Υλικό Κάλυψης		Μονάδες		Έκταση	
	Ηλιανών	Οροφής	Άριθμός	%	m ²	%
Ξύλινα			6	5,5	7.200	5,6
Αμφίρρικτα απλά	PE	PE	5	4,6	2.200	1,7
Αμφίρρικτα πολλαπλά	PE	PE	1	0,9	5.000	3,9
Μεταλλικά			102	94,5	121.200	94,4
Τοξωτά	PE	PE	32	29,6	12.300	9,6
Τροποποιημένα τοξωτά			24	22,2	12.700	9,9
Απλά	PE	PE	21	19,5	4.200	3,3
Πολλαπλά	PE	PE	1	0,9	2.500	2,0
Γυαλί	PE	PE	1	0,9	3.000	2,3
Γυαλί	PE2	PE	1	0,9	3.000	2,3
Αμφίρρικτα			46	42,7	96.200	74,9
Απλά	PE	PE	5	4,7	3.100	2,4
Γυαλί	Γυαλί	Γυαλί	4	3,7	2.300	1,8
Πολλαπλά	PE	PE	4	3,7	3.700	2.900
6,9	Γυαλί	Γυαλί	33	30,6	82.900	63,8
ΣΥΝΟΛΟ			108	100	129.400	100

Τύποι και εξοπλισμός θερμαινόμενων θερμοκηπίων

Από τα 159.300 m² που καταλαμβάνουν τα θερμοκηπία στη Μαγνησία, θερμαίνονται τα 129.400 m² (81%). Τα μεταλλικά αμφίρρικτα γυάλινα θερμοκήπια αντιπροσωπεύουν το 65,6 % των θερμαινόμενων εκτάσεων (Πίνακας 1). Τα θερμαινόμενα θερμοκήπια με κάλυψη πολυαιθυλενίου αντιπροσωπεύουν το 39% των θερμαινόμενων εκτάσεων.

Τα συστήματα θέρμανσης χρησιμοποιούν για την μετάδοση της θερμότητας στο θερμοκήπιο διατάξεις μετάδοσης:

στον αέρα και στην καλλιέργεια, με συνδιασμό φαινομένων συναγωγής (βεβιασμένης ή ελεύθερης) και ακτινοβολίας (αερόθερμα, εναέριες σωληνώσεις και θερμάστρες),

ή στο έδαφος με αγωγή από την επιφάνεια και στην καλλιέργεια με συναγωγή και ακτινοβολία (επιδαπέδια)

ή και τα δύο προηγούμενα (αερόθερμα+επιδαπέδια και εναέριες σωληνώσεις+επιδαπέδια).

Η μετάδοση-διανομή της θερμότητας με το επιδαπέδιο σύστημα εφαρμόζεται στο 77% των θερμαινόμενων εκτάσεων (55% κατά αποκλειστικότητα και 22% σε συνδυασμό με σύστημα θέρμανσης του αέρα) (Πίνακας 2).

Πίνακας 2. Συστήματα διανομής θερμότητας στο θερμοκήπιο που χρησιμοποιούνται στα θερμαινόμενα θερμοκήπια της Μαγνησίας.

Σύστημα Διανομής Θερμότητας	Έκταση m ²	Ποσοστό Θερμαινόμενων Εκτάσεων %
Θέρμανση Αέρα	29.700	22,9
Αερόθερμο	11.600	8,9
Εναέριες σωληνώσεις	13.500	10,4
Θερμάστρες	4.600	3,5
Θέρμανση Εδάφους	70.900	54,8
Επιδαπέδια	70.900	54,8
Θέρμανση Αέρα-Εδάφους	28.800	22,3
Αερόθερμο+Επιδαπέδια	10.800	8,4
Εναέριες σωλ.+Επιδαπέδια	18.000	13,9

Ενεργειακή αξιολόγηση

Από τις δηλώσεις των παραγωγών προκύπτει ότι στη Μαγνησία καταναλώνονται για τη θέρμανση των θερμοκήπων περίπου 42.202 GJ ανά έτος (στοιχεία 1996). Το 84% αυτής της ενέργειας προέρχεται από ορυκτά υγρά κάυσμα (πετρέλαιο και μαζούτ), το 13% από ανανεώσιμη πηγή ενέργειας (πυρηνόξυλο) και το υπόλοιπο (3%) από υγραέριο. Η μεγαλύτερη, αναλογικά, κατανάλωση ενέργειας πραγματοποιείται στα μεταλλικά αμφίφροικα γυάλινα θερμοκήπια (69,6%, Πίνακας 3). Αυτό ήταν αναμενόμενο εφόσον αυτό ο τύπος αντιπροσωπεύει μεγάλο ποσοστό των θερμαινόμενων εκτάσεων (Πίνακας 2).

Πραγματική και θεωρητική ενεργειακή κατανάλωση

Η συνολική κατανάλωση ενέργειας των θερμαινόμενων θερμοκηπίων που προκύπτει από τα δεδομένα των παραγωγών είναι κατά 43% μικρότερη από αυτή που υπολογίζεται θεωρητικά (HORTICERN, διατήρηση της θερμοκρασίας της νύκτας στους 15 °C). Η υπερεκτίμηση των πραγματικών καταναλώσεων είναι υπερβολική ειδικά στην περίπτωση του ξύλινου πολλαπλού αμφίφροικου θερμοκηπίου (93%), στα τοξωτά (83%) και στα απλά μεταλλικά αμφίφροικα με πολυαιθυλένιο (69%). Η πραγματική μέση ειδική κατανάλωση ενέργειας για θέρμανση από όλα τα θερμαινόμενα θερμοκήπια της Μαγνησίας είναι 346 ± 211 MJ m⁻², ενώ η θεωρητική είναι 631 ± 89 MJ m⁻² (Πίνακας 3).

Τα θερμοκήπια με θέρμανση μόνο του εδάφους έχουν χαμηλότερη μέση ειδική κατανάλωση (288 ± 187 MJ m⁻²) από τα θερμοκήπια με θέρμανση μόνο του αέρα (392 ± 216 MJ m⁻²) ή του αέρα και του εδάφους (498 ± 188 MJ m⁻²) (Πίνακας 4). Τα θερμοκήπια που θερμαίνονται μόνο με αερόθερμο ή εναέριες σωλήνες ζεστού γερού έχουν παρόμοιες ειδικές καταναλώσεις (205 ± 161 και 235 ± 84 MJ m⁻² αντίστοιχα) με αυτά που θερμαίνονται με μόνο επιδαπέδια θέρμανση (288 ± 187 MJ m⁻²).

Τύπος Θερμοκρατίας	Υλικό Κάλυψης	Ετήσια Κατανάλωση			Μέση Ετήσια Ειδική Κατανάλωση		
		Πλανών	Οροφής	Ενέργεια στη Θέρμανση	Πραγματική	Εκτίμηση	
		GJ y ⁻¹	%	GJ y ⁻¹	MJ m ⁻² y ⁻¹	MJ m ⁻² y ⁻¹	Mέση Τιμή ± σ
Ξύλα		1226	2,9	4070	5,5	410±230	679±96
Αμφίδροκτα σπλάτα	PE	PE	1025	2,4	1175	1,6	373±213
Αμφίδροκτα πολλαπλά	PE	PE	201	0,5	2895	3,9	-
Μεταλλικά		40976	97,1	70488	94,5	348±206	627±89
Τοξοτά	PE	PE	1443	3,4	8323	11,1	184±170
Τροποποιημένα τοξοτά		4380	10,4	8320	11,1	324±99	746±219
Απλά	PE	PE	1580	3,8	3879	5,2	-
Πολλαπλά	PE	PE	560	1,3	1513	2,0	-
	Γυαλί	PE	840	2,0	1407	1,9	-
	Γυαλί	PE2	1400	3,3	1521	2,0	-
Αμφίδροκτα		35154	83,3	53845	72,3	391±211	639±89
Απλά	PE	PE	674	1,6	2217	3,0	254±116
	Γυαλί	Γυαλί	708	1,7	1547	2,1	331±180
Πολλαπλά	PE	PE	4393	10,4	5520	7,4	499±247
	Γυαλί	Γυαλί	29378	69,6	44561	59,8	396±228
ΣΥΝΟΛΟ	42202	100	74557	100	346±211	631±89	

Η παραλλακτικότητα των πραγματικών ειδικών ενέργειακών καταναλώσεων είναι πολύ μεγαλύτερη από αυτή των θεωρητικών είτε ομαδοποιήσουμε τα αποτελέματα κατά τύπο θεμοκηπίου είτε κατά είδος συστήματος θέρμανσης. Αυτό καθιστά μεν αδύνατη οποιαδήποτε στατιστική σύγκριση μεσων, αλλά δείχνει επίσης ότι οι διαφορές στην ενέργειακή κατανάλωση από το ένα θερμοκηπίο στο άλλο δεν οφείλονται ούτε στα διαφορετικά κατασκευαστικά χαρακτηριστικά (Πίνακας 3) ούτε στα διαφορετικά συστήματα θέρμανσης-διανομής της θερμότητας (Πίνακας 4).

Πίνακας 4. Πραγματική και θεωρητική μέση ετήσια ειδική κατανάλωση ενέργειας ανά είδος συστήματος θέρμανσης-μετάδοσης.

Σύστημα Διανομής Θερμότητας

	Μέση Ετήσια Ειδική Κατανάλωση			
	Πραγματική		Εκτίμηση	
	Μέση Τιμή $\pm \sigma$	MJ m ⁻² y ⁻¹	Μέση Τιμή $\pm \sigma$	MJ m ⁻² y ⁻¹
Θέρμανση Αέρα	392 ± 216		648 ± 74	
Αερόθερμο	205 ± 161		688 ± 21	
Εναέριες σωληνώσεις	235 ± 84		560 ± 28	
Θερμάστρες	591 ± 173		643 ± 90	
Θέρμανση Εδάφους	288 ± 187		612 ± 99	
Επιδαπέδια	288 ± 187		612 ± 99-	
Θέρμανση Αέρα-Εδάφους	498 ± 188		666 ± 79	
Αερόθερμο + Επιδαπέδια	461 ± 210		691 ± 85	
Εναέριες σωλ. + Επιδαπέδια	626 ± 90		579 ± 8	

Αποδοτικότητα της ενέργειας

Η αποδοτικότητα της θερμικής ενέργειας που παρέχεται στο σύστημα παραγωγής, υπολογίστηκε σε ετήσια βάση και βρέθηκε ίση με 49 ± 14 kg GJ-1 στην περίπτωση των ακηπετικών και 65 ± 66 φυτά GJ-1 στην περίπτωση των ανθροκομικών. Ειδικότερα για την γαρδένια είναι ίση με 135 ± 102 φυτά GJ-1. Οι μικρότερες τιμές ενέργειας αποδοτικότητας καταγράφηκαν για καλλιέργεια φίκου (7 φυτά GJ-1) και για καλλιέργεια κέντριας (9 φυτά GJ-1). Οι υψηλότερες τιμές αφορούν καλλιέργεια βολβωδών ειδών σε θερμιανόμενο τροποποιημένο τοξωτό 1000 m² (361 φυτά GJ-1) και επήσια καλλιέργεια γαρδένιας σε μεταλλικό αμφίδρικτο πολλαπλό γυάλινο θερμοκηπίο 10000 m² με επιδαπέδια θέρμανση (373 φυτά GJ-1).

Δυνατότητες εξοικονόμησης ενέργειας

Στον πίνακα 1 φαίνεται ότι η πλειοψηφία των θερμιανόμενων θερμοκηπίων είναι μεταλλικά πολλαπλά αμφίδρικτα με κάλυψη από γυαλί. Σε αυτά πραγματοποιείται και η μεγαλύτερη κατανάλωση ενέργειας για θέρμανση.

Αυτού του είδους τα θερμοκήπια δεν επιδέχονται περαιτέρω κατασκευαστικές βελτιώσεις που να μπορούν να επιφέρουν σημαντική μείωση της κατανάλωσης ενέργειας για θέρμιανση. Αντίθετα, η μεγάλη παραλλακτικότητα των ειδικών καταναλώσεων ενέργειας αυτών των θερμοκηπίων (396 ± 228 , Πίνακας 3) δείχνει ότι υπάρχουν σημαντικά περιθώρια μείωσης της καταναλισκόμενης ενέργειας με επεμβάσεις που αφορούν περισσότερο την ορθολογική διαχείριση του ηλίμαντος και την κατάλληλη επιλογή και προγραμματισμό της καλλιέργειας.

Οι θερμοκουρτίνες θα μπορούσαν να εγκατασταθούν μόνο στα μεταλλικά τροποποιημένα τοξικά και στα αμφίρροικα θερμοκήπια που δεν διαθέτουν ήδη θερμοκουρτίνες, δηλαδή σε έκταση 80.900 m^2 . Χρησιμοποιώντας το θεωρητικό μοντέλο εκτιμήθηκε για κάθε τύπο θερμοκηπίου που μπορεί να δεχθεί θερμοκουρτίνα η ποσοστιαία εξοικονόμηση ενέργειας που μπορεί να επιτευχθεί με θερμοκουρτίνα διπλή επιμεταλλωμένη. Εφαρμόζωντας την ποσοστιαία εξοικονόμηση στις πραγματικές καταναλώσεις ενέργειας των θερμοκηπίων υπολογίστηκε ότι με τις θερμοκουρτίνες μπορούν να εξοικονομηθούν συνολικά 6.093 GJ ανά έτος, δηλαδή $142,7 \text{ tόννοι}$ πετρελαίου. Η πραγματική μέση ειδική εξοικονόμηση ενέργειας ανέρχεται σε $75,3 \text{ MJ m}^{-2}$ ανά έτος.

ΣΥΖΗΤΗΣΗ - ΣΥΜΠΕΡΑΣΜΑΤΑ

Τα θερμοκήπια της Μαγνησίας έχουν κατασκευαστεί κυρίως για την καλλιέργεια ανθοκομιών προϊόντων ιδιαίτερα απαραίτητων σε θερμοκρασία. Στην πλειοψηφία τους είναι μεταλλικά με κάλυψη γυαλιού θερμαινόμενα.

Οι πραγματικές ενεργειακές καταναλώσεις διαφέρουν σημαντικά από τις θεωρητικά υπολογιζόμενες για τη διατήρηση 15°C το θερμοκήπιο όλο το χειμώνα κατά τη διάρκεια της νύκτας. Είναι πολύ πιθανόν συνεπώς οι παραγωγοί να διατηρούν θερμοκρασίες χαμηλότερες από 15°C το χειμώνα ή να καθυστερούν την έναρξη της θέρμιανσης των χειμώνα. Ελάχιστα θερμοκήπια διαθέτουν προηγμένα συστήματα ελέγχου και καταγραφής του ηλίμαντος. Είναι αδύνατον συνεπώς να γνωρίζουμε με ακριβεία τις θερμοκρασίες του αέρα στο εσωτερικό του θερμοκηπίου. Για να δικαιολογηθούν δίμως οι διαφορές μεταξύ εκτιμώμενης και θεωρητικής κατανάλωσης ενέργειας της τάξεως του 70-90% που παρατηρούνται πρέπει οι θερμοκρασίες του αέρα στα θερμοκήπια να είναι κατά 6-7 βαθμούς χαμηλότερες από τους 15°C , δηλαδή $8-9^\circ\text{C}$. Σε αυτές τις συνθήκες η ανάπτυξη των φυτών είναι πολύ αργή με αποτέλεσμα αυτά απλά να διατηρούνται στο θερμοκήπιο το χειμώνα περιμένοντας την άνοιξη (Μάρτιο-Απρίλιο) για να αρχίσουν να αναπτύσσονται.

Οι ειδικές ενεργειακές καταναλώσεις της θέρμιανσης παρουσιάζουν πολύ μεγάλη παραλλακτικότητα τόσο με την ομαδοποίηση κατά τύπο θερμοκηπίου (Πίνακας 3) όσο και κατά είδος συστήματος θέρμιανσης (Πίνακας 4). Αντίθετα η παραλλακτικότητα των θεωρητικών τιμών είναι πολύ μικρότερη. Αυτό σημαίνει ότι η μόνο η επίδραση των κατασκευαστικών διαφορών των θερμοκηπίων όπως αυτή λαμβάνεται υπόψη από το θεωρητικό μοντέλο δεν αρκεί για να εξηγηθούν οι τόσο υψηλές διαφορές στην κατανάλωση ενέργειας που καταγράφηκαν μεταξύ των θερμοκηπίων.

Βασιζόμενοι στις θεωρητικές εκτιμήσεις της ειδικής κατανάλωσης, οδηγούμαστε στο συμπέρασμα ότι για τις κλιματικές συνθήκες της Μαγνησίας η μικρότερη κατανάλωση ενέργειας επιτυγχάνεται με μεταλλικό πολλαπλό αμφίρροικο γυάλινο θερμοκήπιο ($547 \pm 20 \text{ MJ m}^{-2}$, Πίνακας 3) που φέρει εναέριες σωληνώσεις ζεστού νερού ($559 \pm 28 \text{ MJ m}^{-2}$, Πίνακας 4).

Οι δυνατότητες εξοικονόμησης ενέργειας από τη θέρμιανση των θερμοκηπίων στη Μαγνησία επεμβαίνοντας στα κατασκευαστικά χαρακτηριστικά των υπαρχόντων θερμοκηπίων είναι ελάχιστες.

Η πλειοψηφία των θερμαινόμενων θερμοκηπίων είναι μεταλλικά γυάλινα πολλαπλά αμφίφρουτα με τούνικελή ενεργειακή συπεριφορά για το αλήμα της περιοχής.

Τα τροποποιημένα τοξωτά και αμφίρροκτα θερμοκήπια στα οποία θα μοδούσαν να εγκατασταθούν θερμοκουρτίνες αντιπροσωπεύουν 80.900 m^2 . Με αυτό τον τρόπο θα μπορούσαν να εξοικονομηθούν συνολικά 6.093 GJ ανά έτος, δηλαδή $142,7 \text{ τόνοι πετρελαίου}$. Για αυτό το σκοπό θα πρέπει να επενδυθούν συνολικά $242,7 \text{ εκατομμύρια δραχμιές}$ (κόστος διπλά επιμεταλλωμένης θερμοκουρτίνας = 3.000 δρχ m^2) τα οποία με την σημερινή τιμή του πετρελαίου ($100 \text{ δρχ ανά λίτρο}$) θα αποδεσμοθούν σε $17 \text{ χρόνια} (!!!)$ Αυτό οφείλεται στο γεγονός ότι λόγω των χαμηλών σημερινών καταναλώσεων ενέργειας για θέρμανση στα υφιστάμενα θερμοκήπια, η μέση ειδική εξοικονόμηση ενέργειας που επιτυγχάνεται με τις θερμοκουρτίνες είναι πολύ χαμηλή ($75,3 \text{ MJ m}^2 \text{ ανά έτος}$). Ανάλογα με την κατανάλωση ενέργειας και τον τύπο του θερμοκηπίου αυτή κυμαίνεται από $11,5$ έως $317,7 \text{ MJ m}^2 \text{ ανά έτος}$. Η υπόλογιζόμενη προστιαία εξοικονόμηση ενέργειας είναι πολύ μηδέτερη από το $30\text{-}40\%$ που συναντάται στη βιβλιογραφία [3, 4].

Με τα σημερινά οικονομικά δεδομένα και αν η διάρκεια ζωής μιας θερμικουντένας είναι 7 χρόνια, τότε θα πρέπει η ειδική εξοικονόμηση ενέργειας μετά την εγκατάστασή της να είναι τουλάχιστον ίση με 160 MJ m^{-2} ανά έτος. Από τα στοιχεία της μελέτης προκύπτει ότι αυτό ισχύει για υφιστάμενα θερμική παραγωγής συνολικής έκτασης 6.300 m^2 μόνο!!!!, δηλαδή μόνο 8% των θεωρητικών κατάλληλων 80.900 m^2 για αυτού του είδους την επέμβαση.

Θα πρέπει να σημειωθούμε εδώ ότι η σχετικά χαμηλή πραγματική ενεργειακή κατανάλωση των θερμοκηπίων ίνως είναι και συνάρτηση της ενεργειακής τους κατανάλωσης. Δηλαδή, ο κάθε παραγωγός ρυθμίζει την κατανάλωση ενέργειας και την παραγωγή σε χαμηλά επίπεδα ανάλογα με τις οικονομικές του δυνατότητες και τοι κόστος παραγωγής που θέλει να πετύχει. Σε αυτή την περίπτωση η εγκατάσταση θερμοκουρτίνας ισως να μην επιφέρει εξοικονόμηση ενέργειας αλλά με τα ίδια έξοδα ο παραγωγός θα μπορεί να πετύχει υψηλότερες θερμοκρασίες και να ευχήσει έτοι την παραγωγή του και ποσοτικά και ποιοτικά και με αυτό τον τρόπο να αποσβέσει την θερμοκουρτίνα. Η μελέτη όμως αυτού του σεναρίου προϋποθέτει την ύπαρξη βιολογικών μοντέλων ανάπτυξης των φυτών σε συνάρτηση τουλάχιστον με την θερμοκρασία.

Θα παραμείνουμε συνεπώς στο συμπέρασμα ότι για να επενδύσει κάποιος παραγωγός ης Μεραρχίας στην εξουσιοδότηση ενέργειας στο θερμοκήπιο θα πρέπει:

- να έχει πολύ υψηλή πραγματική κατανάλωση ενέργειας,
 - να αυξηθεί η τιμή του πετρελαίου,
 - να υπάρχουν κάνητρα στους υποψήφιους επενδυτές για τη μείωση του χρόνου απόσβεσης της επένδυσης,

Ο εντοπισμός όλων των παραμέτρων που διαμορφώνουν την πραγματική ενέργειακή κατανάλωση των συστημάτων θέρμανσης των θερμοκηπίων αποτελεί μια ενδιαφέρουσα κατεύθυνση για τη συνέχεια και συμπλήρωση αυτής μελέτης. Επίσης ενδιαφέρουσα θα ήταν και η μελέτη των δυνατοτήτων προώθησης της χοήσης των ήπιων και ανανεώσιμων πηγών ενέργειας στη θέρμανση των θερμοκηπίων της Μαγνησίας και η αξιολόγηση του περιβαλλοντικού οφέλους που μπορούν να επιφέρουν.

Ευχαριστίες: Θα θέλαμε εδώ να ευχαριστήσουμε θερμά όλους όσους βοήθησαν στην καταγραφή των θερμοκηπίων της Μαγνησίας και ειδικώτερα τους υπευθύνους του Συλλόγου Ανθογραφή των θερμοκηπίων της Μαγνησίας, του Συλλόγου Παραγωγών Γαρδένιας Μαγνησίας και τους συναδέλφους των θερμοκηπίων της Μαγνησίας.

φρους της Διεύθυνσης Γεωργικής Ανάπτυξης της Ν.Α. Μαγνησίας καθώς επίσης και τους υπευθύνους του Περιφερειακού Ενεργειακού Κέντρου Θεσσαλίας που μας παρείχαν στατιστικά κλιματικά στοιχεία για την Μαγνησία.

ΒΙΒΛΙΟΓΡΑΦΙΑ

1. Jolliet O., Leresche F., 1989. HORTICERN user guide. A programm for calculating greenhouse energy consumption EPFL, Laboratory de Energie Solaire et de Physique du Batiment Lausanne.
2. Pelizzi, G., 1992. Use of energy and labour in italian agriculture. Journal of Agricultural Engineering Research, 52:111-119.
3. Bailey B.J., 1981. The Reduction of thermal Radiation in Glasshouse by Thermal Screens. Journal of Agricultural Engineering Research, 26:215-226.
4. Amsen M.G, 1986. Thermal screens in Greenhouses. Diurnal Variations in Heat Consumption. Journal of Agricultural Engineering Research, 33:79-82.

ΘΕΡΜΑΝΣΗ ΚΑΙ ΔΡΟΣΙΣΜΟΣ ΘΕΡΜΟΚΗΠΙΩΝ ΜΕ ΣΥΣΤΗΜΑΤΑ ΣΥΝΔΥΑΣΜΟΥ ΓΕΩΤΡΗΣΗΣ/ΑΝΤΛΙΑΣ ΘΕΡΜΟΤΗΤΟΣ

Καρύτσας Κων/νος (Δρ. Γεωλόγος - Γεωθερμικός)

Υπεύθυνος Τμήματος Γεωθερμίας ΚΑΠΕ
ΚΕΝΤΡΟ ΑΝΑΝΕΩΣΙΜΩΝ ΠΗΓΩΝ ΕΝΕΡΓΕΙΑΣ, ΠΙΚΕΡΜΗ

ΠΕΡΙΛΗΨΗ

Μια μονάδα αποτελούμενη από αντλία θερμότητος η οποία είναι συνδεδεμένη και τροφοδοτείται είτε από σύστημα άντλησης υπόγειου νερού από γεώτρηση ή πηγάδι (Ground Water Heat Pump system - GWHPs) που εκμεταλλεύεται την αιβαθή υπεδαφική ενέργεια των υπογείων νερών ή με γήινο εναλλάκτη θερμότητος (Ground Coupled Heat Pump system - GCHPs) που εκμεταλλεύεται την αιβαθή υπεδαφική ενέργεια των πετρωμάτων μετρούντας να προσφέρει σε ένα θερμοκηπίο, σε οποιοδήποτε γεωγραφικό σημείο και αν βρίσκεται, φθηνή και περιβαλλοντικά καθαρή ενέργεια για θέρμανση και δροσισμό. Στην ουσία προσλαμβάνεται η υπεδαφική θερμότητα και με ένα κατάλληλα υπολογισμένο μηχανισμό (ρυθμός άντλησης, μήκος σωληνώσεων κλπ.) προσφέρεται στον εξατμιστή ή τον συμπυκνωτή μίας αντλίας θερμότητος.

ABSTRACT

A heat pump unit coupled either with a borehole or well (Ground Water Heat Pump system - GWHPs) which subtracts thermal energy from the shallow groundwater or with an earth heat exchanger (Ground Coupled Heat Pump system - GCHPs) which subtracts thermal energy from the rocks of the upper geological formations, can offer cheap and environmentally clean energy for heating and cooling to a geothermal greenhouse wherever it may be situated. The thermal energy is retained from the earth's subsurface and with an optimal manner is given to the evaporator or the condenser of a heat pump.

ΕΙΣΑΓΩΓΗ

Η ανάπτυξη και η απόδοση των φυτών εξαρτάται σε μεγάλο βαθμό από την θερμιστή των παραγόντων του περιβάλλοντος, που δύναται να διασφαλισθεί από την ανάπτυξη ενός φυτού μέσα σε ένα θερμοκηπίο. Αν θεωρηθή μάλιστα ότι ο φωτισμός είναι επαρκής σε ένα θερμοκηπίο τότε η θερμοκρασία είναι ο κυριότερος κλιματολογικός παράγοντας που επηρεάζει τον θυμό ανάπτυξης των καλλιεργειών και πολλές άλλες λειτουργίες, όπως την φωτοσύνθεση, την διαπνοή, την απορρόφηση του νερού και των θρεπτικών συστατικών κλπ.

Για να αποδώσει όμως η καλλιέργεια του θερμοκηπίου το μέγιστο δυνατό απαιτεί μία ωρισμένη θερμοκρασία, λαμβάνοντας ως δήμη τις ακόμα και μικρές αποκλίσεις από την άριστη θερμοκρασία, επηρεάζουν ακόμη και την ποιότητα των προϊόντων. Γι' αυτό τον λόγο φροντίζουμε στο θερμοκηπίο μας να παρέχουμε πάντα την βέλτιστη θερμοκρασία. Παραδείγματος χάριν για καλλιέργεια τριανταφύλλιας έχουμε βέλτιστη θερμοκρασία αέρα κατά την νύχτα 16-17 °C, κατά την ημέρα 21-24 °C, και θερμοκρασία εδάφους 13-15 °C, και αντίστοιχα για την γαρυφαλλιά έχουμε βέλτιστη θερμοκρασία αέρα κατά την νύχτα 10-12 °C, κατά την ημέρα 10-18 °C, και θερμοκρασία εδάφους 10-13 °C.

Μεγάλη σημασία έχει να υλοποιείται η θέρμανση ή ο δροσισμός του θερμοκηπίου με ενα σύστημα θέρμανσης ή δροσισμού που μπορεί αφ' ενός μεν να έχει ακρίβεια και πιστότητα ως προς την σταθερότητα του θερμοκρασιακού επιπέδου αφ' ετέρου να είναι οικονομικό και περιβαλλοντικά αισφαλές [4 και 5].

Ενα τέτοιο σύστημα είναι και το προτεινόμενο, αυτό της γεωθερμικής αντλίας θερμότητος συνδεδεμένης με σύστημα αντλήσης είτε υπόγειου νερού από γεώτρηση/πηγάδι είτε με γήινους εναλλάκτες θερμότητος (Ground Source Heat Pump system - GSHPs) [1,2, 3 και 6], που μπορεί να προσφέρει στο θερμοκήπιο μας, σε οποιοδήποτε γεωγραφικό σημείο και αν βρίσκεται, φθηνή και περιβαλλοντικά καθαρή ενέργεια για θέρμανση και δροσισμό (ΣΧΗΜΑ 1).

Η αξιοποίηση της ενέργειας του υπεδάφους (ομαλής γεωθερμικής ενέργειας) επιτυγχάνεται με την σύζευξη αντλιών θερμότητος νερού - νερού με το υπέδαφος. Οι αντλίες θερμότητος νερού-νερού παρουσιάζουν μικρό σχετικά όγκο, λόγω της μεγάλης θερμοχωρητικότητας του νερού και μετά από κατάλληλη διαστασιολόγηση μόνιμη απόδοση διπλάσια της μέσης απόδοσης της αντλίας θερμότητος αι ρα - νερού. Για την επίτευξη του παραπάνω απαραίτητη προϋπόθεση είναι η κατάλληλη επιλογή του γεωθερμικού εναλλάκτη (είτε υδρογεώτρηση είτε γήινος εναλλάκτης θερμότητος) ώστε να προσκύπτει ο βέλτιστος συνδυασμός των θερμικών χαρακτηριστικών.

Το υπέδαφος έχει το εξής ιδιόμορφο χαρακτηριστικό ότι κάτω από το βάθος των 7-8 m η θερμοκρασία των πετρωμάτων και των ταμιευτήρων μέσα στους οποίους υπάρχουν υπεδαφικά νερά είναι σταθερή και μάλιστα είναι ένα συγκεκριμένο και απολύτως προσδιοριζόμενο φυσικό μέγεθος αυξανόμενο μάλιστα με το βάθος [1 και 2]. Η θερμοκρασία του ρευστού ή των πετρωμάτων εξαρτώνται από συγκεκριμένες παραμετρους όπως από την γεωθερμική ροή, την ηλιακή ακτινοβολία (που αποτελεί κυρίαρχο παράγοντα μέχρι του βάθους των 40-50 m) την γεωθερμική βαθμίδα στην περιοχή, την θερμική αγωγιμότητα των πετρωμάτων κλπ.

Το σημαντικότερο γεγονός είναι ότι η προσφερόμενη αυτή ενέργεια είναι περιβαλλοντικά καθαρή, απεριόριστα ανανεώσιμη και εξοικονομεί το 40 έως 60% της ενέργειας, που θα κατανάλωνε η μονάδα για τη λειτουργία και τη συντήρηση της, εάν χρησιμοποιούντο μόνο συμβατικά μέσα θέρμανσης (όπως πετρέλαιο, υγραέριο, ηλεκτρισμός κλπ.).

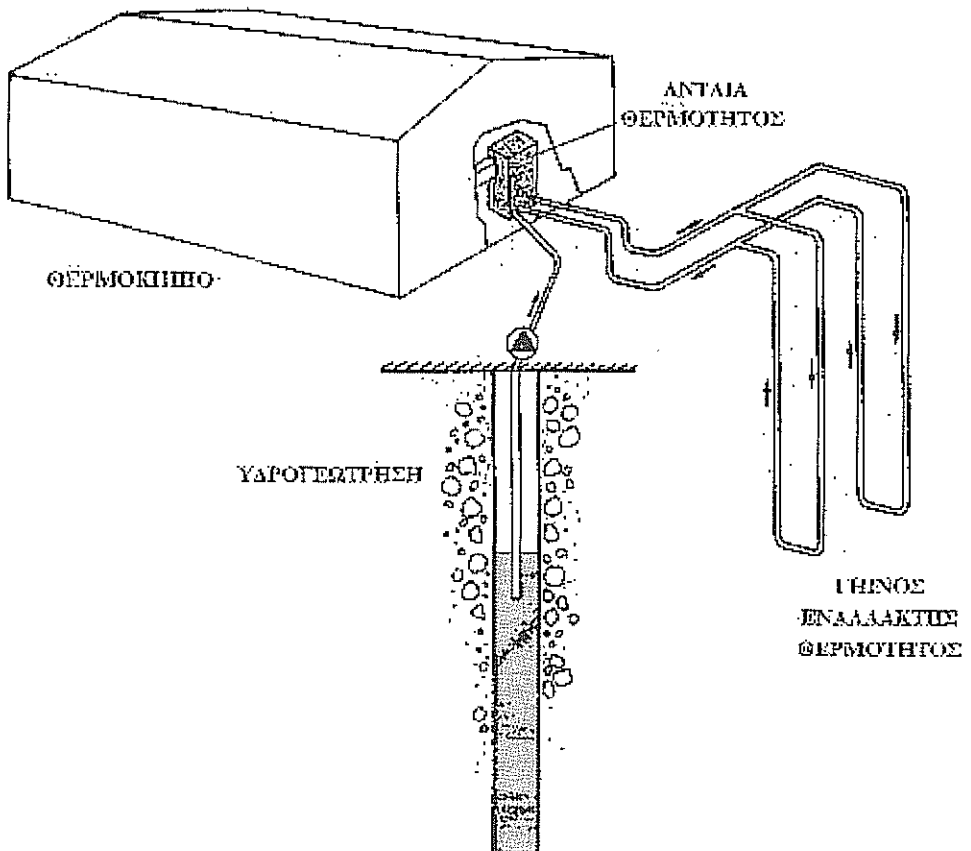
Με την εφαρμογή αυτής της τεχνολογίας και την διάδοσή της στον ευρύτερο ελληνικό χώρο θα δυνάμεθα να προβούμε σε θερμάνσεις θερμοκηπίων με οικονομικότερο και περιβαλλοντικά καθαρό τρόπο σε όλες εκείνες τις περιοχές όπου δύνανται να αναπτυχθούν θερμοκήπια.

ANTIKEIMENO

Σκοπός του μελετητού είναι η εισαγωγή και προώθηση της τεχνολογίας της χρήσης γεωθερμικών αντλιών θερμότητας στον αγροτικό τομέα και παράλληλα η αποδοτικότερη σχεδίαση των γεωθερμικών αντλιών θερμότητος νερού-νερού (ή νερού-αέρα) εξαισφαλίζοντας αφ' ενός μεν μεγαλύτερη απόδοση και οικονομικότητα με την βέλιστη απαίτηση σε υπέδαφικά ρευστά, αφ' ετέρου δε η προστασία του περιβάλλοντος.

Για την επίτευξη του παραπάνω στόχου μελετάται η περίπτωση δημιουργίας γυάλινων θερμοκηπίων με καλλιέργεια λουλουδιών ή πρώιμων οπωρολαχανικών (τριαντάφυλλα, ζέρμπερες, τομάτα, αγγούρι, πεπόνι κλπ.) σε οποιοδήποτε περιοχή της Κεντρικής Ελλάδος (Ηπειρος, Θεσσαλία, και Στερεά Ελλάδα).

Η θέρμανση και ο δροσισμός των θερμοκηπίων αυτών επιτυγχάνεται με την σύζευξη της αντλίας θερμότητος με υδρογεώτρηση ή πηγάδι. Στην περίπτωση που δεν υπάρχει επαρκής ποσότητα



Σχήμα 1: Συνδυασμός Υδρογεώτρησης ή/και Γήινου Εναλλάκτη Θερμότητος με Αντλία Θερμότητος για Θέρμανση/Ψύξη Θερμοκηπίων.

νερού στο υπέδαιφος η απομάστευσης της γήινης θερμικής ενέργειας επιτυγχάνεται με σύστημα γήινου εναλλάκτη θερμότητος (κατακορύφου ή οριζοντίου). Το νερό του κλειστού κυκλώματος που θα λαμβάνει την ενέργεια από τον συμπυκνωτή θα οδηγείται στο σύστημα θέρμανσης των θερμοκηπίων. Το γεωθερμικό (υπεδαιφικό) νερό μετά την θέρμανση (εναλλάκτης εξατμιστή) οδηγείται είτε προς άρδευση ή αποθήκευση ή ακόμη και επανεισαγωγή. Τονίζεται ότι το γήινο περιβάλλον αποτελεί έναν μόνιμο χώρο άντλησης ή απόρριψης θερμικής ενέργειας με σταθερή θερμοκρασιακή στάθμη που για τις πεδινές περιοχές της Κεντρικής Ελλάδος κυμαίνεται από τους 12 έως τους 16°C.

Μεταξύ άλλων περιπτώσεων ενδιαφέρον παρουσιάζει μία παρεμφερής εφαρμογή του εφαρμόσθηκε με επιτυχία στην Ολλανδία. Πιο συγκεκριμένα, στην Ολλανδία στα πλαίσια ενός ερευνητικού προγράμματος (ΕΕ/040/87/ΝΝ), έγινε χρήση αντλίας θερμότητος για την θέρμανση τημάτων θερμοκηπίου συνολικής έκτασης 19.000 m², με γιούκας. Η αντλία θερμότητος ήταν νερού - νερού με ψυκτική ικανότητα 200 kW ηλεκτρική κατανάλωση 80 kW, και συνολική θερμική ισχύ

280 kW. Το ζεστό νερό από την εξόδιο της αντλίας θερμιότητος τροφοδοτούσε το σύστημα θέρμανσης του θερμιοκηπίου. Υπολογίστηκε ότι ο χρόνος αποπληρωμής του συστήματος ήταν 4,1 χρόνια.

ΠΕΡΙΓΡΑΦΗ ΣΥΣΤΗΜΑΤΟΣ

Η εγκατάσταση του γεωθερμικού συστήματος θέρμανσης και δροσισμού περιλαμβάνει:

- I) την υδρογεώτρηση ή το πηγάδι που θα πρέπει να παρέχουν τοντάχιστον 12-15 m³/h ανά στρέμμα γεωθερμικού θερμιοκηπίου με νερό θερμοκρασίας 10-18oC στον εξατμιστή της αντλίας θερμιότητος (GWHPs).

Σε περίπτωση μη ανεύρεσης ικανής ποσότητος υπεδαιφικού νερού το πρωτεύον σύστημα μεταφοράς της γήινης θερμιότητος αποτελούν οι Γήινοι Εναλλάκτες Θερμιότητος. Οι Γήινοι Εναλλάκτες Θερμιότητος αποτελούνται από συστήματα αβαθών γεωτρήσεων (μέχρι τα 120 m) ή τάφρους (σε βάθη 2-3 m) όπου μέσα τους τοποθετούνται πλαστικοί σωλήνες πολυαιθυλενίου μέσης πυκνότητος (MDPE), οι οποίοι έχουν την ικανότητα να μεταφέρουν με άμεση θερμοεναλλαγή την γήινη θερμότητα μέσω ακλειστού κυκλώματος νερού στον εξατμιστή της αντλίας θερμιότητος (GCHPs).

Εννοείται ότι υβριδικά συστήματα GWHPs με GCHPs παρουσιάζουν παρόμοιο τεχνολογικό και οικονομικό ενδιαφέρον, ώστε σε περιπτώσεις μερικής κάλυψης της ποσότητος του απαραίτημένου νερού από γεώτρηση το υπόδοιπο φορτίο να καλύπτεται με γήινο εναλλάκτη [1, 2 και 6].

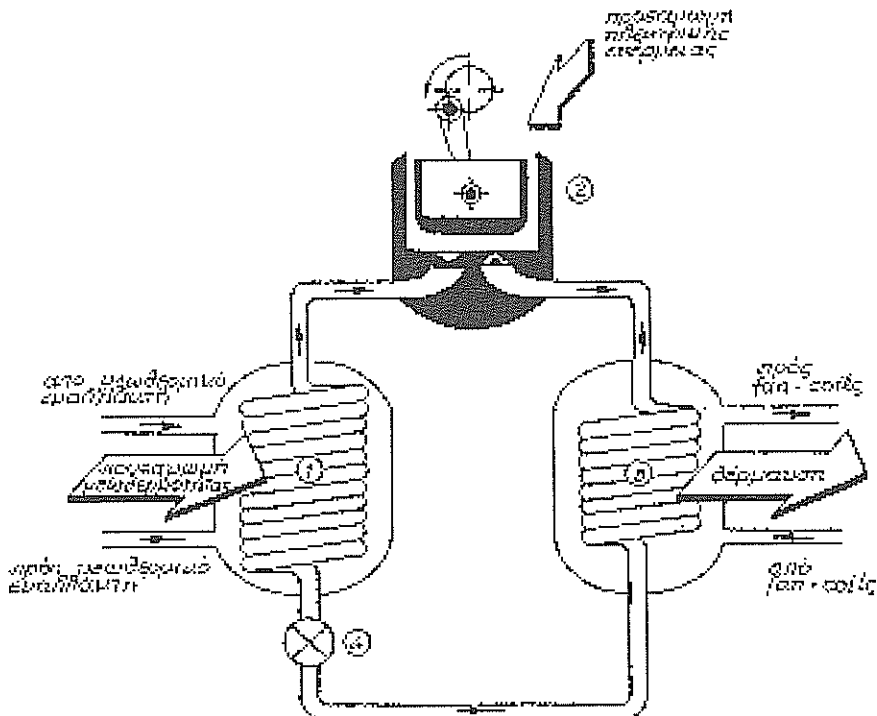
- II) την αντλία θερμιότητος νερού-νερού ή νερού-αέρα, που λειτουργεί με ένα COP = 3.6 - 4.2, και παράγει αφ' ενός μεν θερμό νερό 45-50oC για την θέρμανση των χειμώνα και αφ' ετέρου δε, με αντιστροφή του κύκλου, ψυχρό νερό 7-8 oC για δροσισμό το καλοκαίρι.

Η αντλία θερμιότητος νερού-νερού ή νερού-αέρα αποτελείται από τον εξατμιστή, τον συμπτετή, τον συμπυκνωτή και το στοιχείο εκτόνωσης, η λειτουργία της εξασφαλίζεται από την κυκλοφορία ειδικών ψυκτικών υγρών όπως τα R134a ή R22, τα οποία εκτός των άλλων είναι και φιλικά προς το περιβάλλον (ΣΧΗΜΑ 2) [1.2 και 6].

Η αντλία θερμιότητος είναι συσκευή που έχει τη δυνατότητα επέμβασης στον κύκλο ψύξης ενός συστήματος, έτσι ώστε να δίνει άλλοτε ζεστό και άλλοτε κρύο νερό ή αέρα, ανάλογα πάντα με τις κλιματιστικές ανάγκες του χώρου.

Είναι γνωστό, ότι η θερμιότητα έχει φυσική φορή από καταστάσεις υψηλότερων θερμοκρασιών σε αντίστοιχες χαμηλότερων. Η αντλία θερμιότητος όμως έχει την ικανότητα να μεταφέρει τη θερμιότητα αντίθετα προς τη φυσική της φορή. Αντεί δηλαδή θερμιότητα (γιά αυτό ονομάζεται έτσι) από χαμηλότερη στάθμη θερμοκρασίας προς μια υψηλότερη. Την ίδια εξ' άλλου ικανότητα έχει και ένα ψυγείο, μόνο που εδώ το ενδιαφέρον παρουσιάζεται άλλοτε για τη θερμιότητα και άλλοτε για την ψύξη.

Συχνά αναφέρεται ότι η αντλία θερμιότητος "αντιστρέφει" ή "αναστρέφει" τον κύκλο του ψυκτικού ρευστού και ανάλογα με την περίπτωση αιολούθει "ψυκτικό κύκλο" το καλοκαίρι ή "θερμιαντικό" το χειμώνα. Πρέπει να τονιστεί ότι η αντλία θερμιότητος εκτελεί πάντα ψυκτικό κύκλο και ποτέ θερμικό γιατί τέτοιος κύκλος δεν υφίσταται [3]. Το μόνο που αντιστρέφεται είναι ο ρόλος του συμπυκνωτή με το ρόλο του εξατμιστή. Το καλοκαίρι ο εξατμιστής είναι τοποθετημένος μέσα στον ψυχόμενο χώρο και τον ψύχει, ενώ το χειμώνα ο εξατμιστής είναι τοποθετημένος στο περιβάλλον και το ψύχει εφόσον αντεί θερμιότητα από αυτό. Η αντλία θερμιότητος με τη χρήση της τετράοδης βαλβίδας αντιστρέφει τη φορή του ψυκτικού μέσου διατηρώντας φυσικά τον ψυκτικό κύκλο.

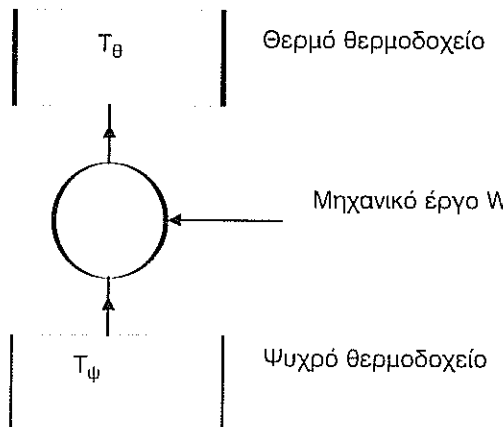


Σχήμα 2: Σχεδιάγραμμα μίας αντλίας θερμότητος.
1: Εξατμιστής., 2: Συμπιεστής 3: Συμπιεστής. 4: Στοιχείο Εκτόνωσης

Ο κύκλος θερμανσης (ΣΧΗΜΑ 3) περιλαμβάνει τα ίδια στάδια με τον κύκλο ψύξης. Μόνο που στην περίπτωση αυτή το στοιχείο που εκτελούσε αιμοποίηση εκτελεί συμπύκνωση και το αντίστροφο. Η μετατροπή του ψυκτικού κύκλου σε "θερμαντικό", γίνεται με τη βοήθεια τετράοδης βιαλβίδας, όπως προαναφέρθηκε, που οδηγεί το ψυκτικό ρευστό μετά την έξοδό του από το συμπιεστή και την εκτονωτική διάταξη στους εναλλάκτες θερμιότητας ψυκτικού μέσου - αέρα (ή νερού), ανάλογα με την επιλογή των απαιτήσεων μέσω διακόπτη.

Χαρακτηριστικός αριθμός που καθορίζει την ποιότητα και την αποδοτικότητα της λειτουργίας της αντλίας θερμότητος είναι ο συντελεστής συμπεριφοράς COP (Coefficient of Performance). Η τιμή του συντελεστή συμπεριφοράς εξαρτάται από:

1. Την θερμοκαρασιακή διαφορά T_0-T_φ "βελτιώνεται όσο μικρότερη είναι η θερμοκαρασιακή διαφορά (T_0-T_φ)".
2. Από το είδος και την ποιότητα της συσκευής παραγωγής ψυκτικής ισχύος και την αποδοτικότητα του ψυκτικού μέσου.



Σχήμα 3. Κύκλος θέρμανσης αντλίας θερμότητος.

III) τα θερμαντικά σώματα που είναι όμοια με τα χρησιμοποιούμενα γιά τα συμβατικά συστήματα (επιδαπέδιο σύστημα θέρμανσης, αερόθερμα κ.ο.κ.) (και δροσισμού), που λειτουργούν με την κυκλοφορία θερμού (ή και αντίστοιχα ψυχρού νερού). Οι θερμοκρασίες λειτουργίας των συστημάτων αυτών θα είναι 35/45°C γιά το σύστημα θέρμανσης και 12/8 °C γιά το σύστημα δροσισμού.

IV) τον εφεδρικό λέβητα που καλείται να καλύψει είτε τα φορτία αιχμής ή τις ανάγκες θέρμανσης/ψύξης σε περίπτωση μη λειτουργίας του γεωθερμικού κυκλώματος λόγω βλάβης.

Πιό συγκεκριμένα μέσα στο μηχανοστάσιο, που θα είναι ένας χώρος στο πλάι του θερμοκηπίου ή και μέσα στο ίδιο το θερμοκηπίο θα τοποθετηθεί εκτός από την αντλία θερμότητος και το σύστημα του εφεδρικού λέβητα και καυστήρα. Το εφεδρικό αυτό σύστημα σχεδιασμένο να λειτουργεί για την κάλυψη των φορτίων αιχμής θα συνδέεται με σύστημα αεροθέρμων. Το σύστημα αυτό καλείται να καλύψει εκτός από τα φορτία αιχμής και τις ανάγκες θέρμανσης σε περίπτωση μη λειτουργίας λόγω βλάβης του κυκλώματος της γεωθερμίας/αντλίας θερμότητος.

Η θερμοκρασία εισόδου του αέρα στα αερόθερμα αυτά υπολογίζεται να είναι

10 oC ενώ η θερμοκρασία εξόδου του αέρα θα είναι 38-39 °C, η παροχή αέρα θα είναι 3.1 m3/h, στις 1400 rpm με ένα οριζόντιο βεληνεκές 20 m. Η θερμοκρασία του νερού από το καυστήρα, για να λειτουργεί με αυτές τις προδιαγραφές το αερόθερμο, πρέπει να είναι 80/70 °C ($\Delta T=10 °C$).

ΑΠΟΤΕΛΕΣΜΑΤΑ - ΣΥΜΠΕΡΑΣΜΑΤΑ

Εξετάζονται δύο περιπτώσεις ($\Sigma 1$ και $\Sigma 2$) και τα αποτελέσματα της σύγκρισής τους αναλύονται παρακάτω. Πιό συγκεκριμένα η περίπτωση $\Sigma 1$ (Σενάριο 1) θεωρεί ότι το σύνολο των θερμικών αναγκών των θερμοκηπίων καλύπτονται από κάποιο συμβατικό σύστημα θέρμανσης (λέβητας/καυστήρας), ενώ η περίπτωση $\Sigma 2$ (Σενάριο 2) θεωρεί ότι η κάλυψη του 75% των θερμικών αναγκών του θερμοκηπίου επιτυγχάνεται με το σύστημα του συνδυασμού υπεδαφικής ενέργειας/αντλίας θερμότητος.

Εφόσον η μέγιστη απαιτούμενη θερμική ισχύς γιά την θέρμανση ενός στρέμματος γυάλινου θερμοκηπίου με βάση τις μέσες κλιματολογικές συνθήκες της Κεντρικής Ελλάδος εκτιμάται ότι ανέρχεται σε 200 KW τότε με την λειτουργία του συστήματος μας επί 1750 ώρες τον χρόνο (Load Factor = 20%) επιτυγχάνεται ετήσιο οικονομικό όφελος της τάξεως των 1.840.000 δρχ. ανά στρέμμα, εξουκονόμηση μέσω υποκατάστασης 28.3 ΤΙΠ (1 ΤΙΠ = 8.000.000 kcal και 100.000 δρχ/ΤΙΠ) και παράλληλα μή εκλυση CO₂ της τάξεως 90.6 τόννων (υποκατάσταση συμβατικών καυσίμων 48.9%, που προκύπτει αφού αφαιρέσουμε από την υποκατάσταση καυσίμων την απαιτούμενη γιά την λειτουργία του συστήματος μας ηλεκτρική ενέργεια και τα καύσιμα γιά τον εφεδρικό λέβητα).

Σημειώνεται ότι από τις απαιτήσεις αυτές τον 200 KW ανά στρέμμα το 75% ή 150 KW σχεδιάζεται να καλύπτονται από το σύστημα γεωθερμικούς-αντλίας θερμότητος ενώ το υπόλοιπο 25% ή 50 KW από το σύστημα του εφεδρικού λέβητα (κάλυψη περιόδων αιχμής ή σε περιπτώσεις μη λειτουργίας του γεωθερμικού κυκλώματος). Συνεπώς, το σύστημα των γεωτρήσεων συνδεδεμένων με την αντλία θερμότητος μπορεί να προσδώσει στο σύστημά μας από το υπέδαφος, με ένα COP ίσο με 4, 112KW ανά στρέμμα και από τον συμπλεού παρόντας τα άλλα 38 KW ανά στρέμμα (από το ηλεκτρικό ψεύμα).

Στον παρακάτω πίνακα παρατηρούμε ότι η απόσβεση του αρχικού κεφαλαίου (λαμβάνοντας υπ' όψη μόνον την θέρμανση των θερμοκηπίων) επιτυγχάνεται σε 4,1 έτη, παρ' όλο που η διάρκεια ζωής της μονάδος είναι τουλάχιστον 20 έτη (βλέπε κατωτέρω Πίνακα 1).

Πίνακας 1: Επήσια Παραγωγή Ενέργειας - Κόστος - Εξουκονόμηση Ενέργειας και Κεφαλαίου - Ανά Στρέμμα Γεωθερμικού Θερμοκηπίου.

Σ1 - Συμβατικό Σύστημα Ωρες Λειτουργίας = 1750 h	Ενέργεια σε Πετρέλαιο = 37.6 ΤΙΠ	Κόστος Ενεργ.= 3.760.000 Δρχ
Σ2 - Γεωθερμικό Κύκλωμα Ωρες Λειτουργίας = 1750 h	Ενέργεια σε Ηλ. Ρεύμα = 120 MWh	Κόστος Ενεργ.= 1.920.000 Δρχ
Κόστ. Μονάδος = 7.500.000 Δρχ	Εξουκον. ανά έτος = 1.840.000 Δρχ ή 48.9 %	Απόσβεση Κεφαλαίου 4,1 έτη

Στον παραπάνω υπολογισμό ελαήφησαν υπ' όψη οι εξής παραδοχές:

- α) Οι ώρες αιχμής υπολογίζονται στο 10% του συνόλου λειτουργίας του θερμοκηπίου.
 - β) Ο Τόννος Ισοδύναμου Πετρελαίου (ΤΙΠ) λαμβάνεται ίσος με 8.000.000 Kcal, η δε τιμή στις 100.000 δρχ (ή 83,3 δρχ/λίτρο).
 - γ) Η τιμή των αγροτικών ρεύματος είναι ίση με 16 Δρχ/KWh.
 - δ) Θεωρούμε ότι το κόστος της αγοράς και της εγκατάστασης του συνόλου του συστήματος γεωθερμικής αντλίας θερμότητος ανέρχεται σε 50.000 δρχ ανά KW εγκατεστημένης ισχύος.
- Ενα ξεχωριστό σημείο που πρέπει να εξετασθεί είναι το άμεσο όφελος που θα προκύψει από την λειτουργία του συστήματος στον κύκλο του δροσισμού.

Η βελτίωση που θα προκύψει στην απόδοση των καλλιεργειών κατά την θερινή περίοδο δροσισμού υπολογίζεται ότι θα υπερκαλύψει το κόστος λειτουργίας της μιούνδος (ηλεκτρισμός) κατά 50% προσδίδοντας άλλες 300.000 δρχ/στρέμμα ως καθαρό όφελος.

Τονίζουμε ότι στην μελέτη αυτή όπου εξετάζουμε την οικονομικότητα ανάπτυξης γεωθερμικής εργασίας με αντλίες θερμότητος λαμβάνονται υπόψη μόνον το ύψος της επένδυσης που αφορά την εκμετάλλευση της γεωθερμίας για την θέρμανση του θερμοκηπίου και το λειτουργικό κόστος. Αντιθέτως δεν λαμβάνεται υπόψη το κόστος αγοράς και εγκατάστασης του θερμοκηπίου και του συστήματος άρδευσης μια και το ξηταύμενο είναι να αποδειχτεί ότι το προτεινόμενο γεωθερμικό σύστημα θέρμανσης των θερμοκηπίων παρέχει φθηνότερη θερμική ενέργεια από τα συμβατικά καύσιμα και ότι η επένδυση αποσβένται σε μικρό χρονικό διάστημα.

ΒΙΒΛΙΟΓΡΑΦΙΑ

1. ASHRAE 1995 Chapter 29 Geothermal Energy ASHRAE Handbook - Applications American Society of Heating, Refrigerating and Air Conditioning Eng., Inc.
2. ASHRAE 1995 Commercial Groundsource Heat Pump Systems - ASHRAE Special Issue American Society of Heating, Refrigerating and Air Conditioning Eng., Inc.
3. Καρύτσας, Κ., Περόγλου, Γ., Χουστούλας, Π., Καναβάζης, Γ., και Καράγιωργας, Μ., (1997) Χρήση Γεωθερμικής Αντλίας Θερμότητος σε Θέρμανση Θερμοκηπίων - Τελική Εκθεση ΓΓΕΤ - ΠΕΠΕΡ - 95
4. Καρύτσας, Κ., (1997) Δυνατότητες Αξιοποίησης Γεωθερμικής Ενέργειας σε Γεωργικές Εφαρμογές, Διημερίδα ΕΘΙΑΓΕ/ΓΓΕΤ, Λάρισα
5. Μαυρογιαννάκος, Γ., (1990) Θερμοκήπια, Περιβάλλον - Υλικά - Κατασκευή - Εξοπλισμός - Εκδόσεις Σταθιούλη.
6. Parker, J.D., Kavanaugh, S., and Ramanathan, R., (1984) Performance comparison of air- and ground-coupled heat pump systems. EM-3408, Final Report to the Electric Power Research Institute, Palo Alto, CA

ΤΕΧΝΙΚΗ ΚΑΙ ΟΙΚΟΝΟΜΙΚΗ ΑΞΙΟΛΟΓΗΣΗ ΑΝΤΛΗΤΙΚΩΝ ΣΥΣΤΗΜΑΤΩΝ ΜΕ ΦΩΤΟΒΟΛΤΑΪΚΑ

Λ. Καλλιβρούσης, Δ. Μανωλάκος, Γ. Παπαδάκης

ΓΕΩΠΟΝΙΚΟ ΠΑΝΕΠΙΣΤΗΜΙΟ ΑΘΗΝΩΝ
Εργαστήριο Γεωργικής Μηχανολογίας, Αθήνα

ΠΕΡΙΛΗΨΗ

Τα συστήματα άντλησης με φωτοβολταϊκά θεωρούνται ως μια από τις πιο αξιόπιστες λύσεις για εφαρμογές ύδρευσης και άρδευσης σε απομακρυσμένες περιοχές όπου μια συμβατική πηγή ενέργειας δεν είναι διαθέσιμη. Πολλά συστήματα φωτοβολταϊκών χρησιμοποιούν αντλίες θετικής μετατόπισης. Μια αντλία συνεχούς ζεύματος, θετικής μετατόπισης δοκιμάστηκε στο Γεωπονικό Πανεπιστήμιο Αθηνών με στόχο την αξιολόγησή της, όπου αυτή τροφοδοτείται από φωτοβολταϊκά, στις περιπτώσεις πού η αντλία συνδέεται απ' ευθείας με τον κινητήρα συνεχούς ή δια μέσω ενός ενισχυτή ζεύματος. Οι δοκιμές και στις δύο περιπτώσεις έγινε υπό παρόμοιες συνθήκες ακτινοβολίας και στατικού ύψους. Το ενδιαφέρον του πειράματος εστιάστηκε κυρίως στο βαθμό απόδοσης και τον ημερήσιο αντλούμενο όγκο νερού. Τα αποτελέσματα δείχνουν ότι η χρήση ενός Γραμμικού Ενισχυτή Ρεύματος ή συσσωρευτή, βελτιώνει σημαντικά την απόδοση ενός φωτοβολταϊκού συστήματος για άντληση με χρήση αντλίας θετικής μετατόπισης.

ABSTRACT

Photovoltaic (PV) powered pumping systems are considered a reliable solution for pumping water for people, irrigation or livestock in remote areas, when a conventional source is not easily available. Many PV pumping systems utilise rotary positive displacement pumps, which seal water in cavities and force it forward. Such systems using a DC-driven rotary positive displacement pump were installed and tested at the Agricultural University of Athens in order to evaluate their performance. The pump was coupled with the photovoltaic generator (A) directly, (B) through a Linear Current Buster and (C) through a battery. The systems were tested under similar operating conditions of solar irradiation and total static head. The major items of interest were the overall efficiency and the daily pumped volume of water. Additionally, the economic performance of each system was evaluated and the unit cost of the pumped water was estimated taking into consideration economic and operational parameters. The results and the experiences obtained indicate that the system equipped with the battery outperformed economically to other systems.

1. ΕΙΣΑΓΩΓΗ

Μια από τις πιο σημαντικές εφαρμογές των φωτοβολταϊκών συστημάτων είναι η άντληση νερού, για άρδευση. Ειδικά στην περίπτωση όπου υπάρχει αξιόλογο ηλιακό δυναμικό η άρδευση εκτάσεων γίνεται αποδοτική. Τα φωτοβολταϊκά συστήματα για άντληση είναι σήμερα μια τεχνολογία που κατέχει μεγάλη αξιόπιστία. Επιπρόσθετα, εμφανίζει το πλεονέκτημα του μικρού κόστους λειτουργίας και συντήρησης. Απαιτεί όμως ένα υψηλότερο κόστος επένδυσης από τα συμβατικά συστήματα, ειδικά στην περίπτωση που υπάρχει αποθήκευση ενέργειας σε συσσωρευτές, όπου χρησιμοποιούνται φροτιστές και άλλες ρυθμιστικές διατάξεις.

Πολλά συστήματα φωτοβολταϊκών για άντληση χρησιμοποιούν αντλίες θετικής μετατόπισης, ειδικά στην περίπτωση όπου απαιτείται άντληση από μεσαίο και μεγάλο ύψος. Οι αντλίες αυτές στηγεντρύνουν νερό στις κοιλότητές τους και το καταθλίβουν διατηρώντας το ύψος σταθερό ακόμα και στην περίπτωση κατά την οποία η αντλία περιστρέφεται με μικρότερη ταχύτητα περιστροφής της ονομαστικής. Αυτή η ιδιότητα διαιρούνται τις αντλίες αυτές από τις φυγόκεντρες οι οποίες παρουσιάζουν μεγάλη διακύμανση στην απόδοσή τους όταν μεταβάλλεται η ταχύτητα περιστροφής. Το γεγονός ότι οι αντλίες θετικής μετατόπισης προσφέρουν καλό βαθμό απόδοσης σε μερικό φορτίο τις κάνει ελκυστικές για χρήση σε συστήματα φωτοβολταϊκών για άντληση.

Το παρόν άρθρο αποτελείται με την τεχνολογία των φωτοβολταϊκών συστημάτων για άντληση με χρήση κινητήρα συνεχούς ρεύματος και περιστροφική αντλία θετικής μετατόπισης.

2. ΠΕΡΙΓΡΑΦΗ ΤΟΥ ΣΥΣΤΗΜΑΤΟΣ

Το υπό δοκιμή φωτοβολταϊκό σύστημα για άντληση χρησιμοποιεί κινητήρα συνεχούς ρεύματος, χαρακτηριζόμενος το οποίο συνδέεται είτε απ' ευθείας με το φωτοβολταϊκό, είτε δια μέσω ενός Γραμμικού Ενισχυτή Ρεύματος, (διάγραμμα 1). Η αντλία που χρησιμοποιείται είναι ονομαστικής ισχύος 0,5 HP και λειτουργεί στα 12 V DC, (διάγραμμα 1). Οι μέγιστες τιμές λειτουργίας για την ένταση και την τάση είναι 16 A και 18 V αντιστοίχως. Το μέγιστο ύψος αναφορής της αντλίας είναι 6 m ενώ της κατάθλιψης είναι 85 m. Στο Διάγραμμα 2 παρουσιάζεται η επίδραση της τάσης λειτουργίας και του ύψους στην ισχύ εισόδου και εξόδου της αντλίας. Από το διάγραμμα φαίνεται ότι η απαιτούμενη ηλεκτρική ισχύς για τη λειτουργία της αντλίας σε πλαθορισμένο ύψος αυξάνεται καθώς αυξάνεται η τάση λειτουργίας. Η παροχή επίσης αυξάνεται αναλογικά αλλά μειώνεται ελαφρώς με τη αύξηση του ύψους.

Στο διάγραμμα 3 παρουσιάζεται η απόδοση του συστήματος κινητήρα-αντλίας σε σχέση με την ισχύ εισόδου, σε συνάρτηση με το ολικό ύψος. Η απόδοση δεν είναι σταθερή και εξαρτάται από από το ύψος και την ισχύ εισόδου. Αυξάνεται όταν το συνολικό ύψος αυξάνεται. Στο ίδιο διάγραμμα φαίνεται η καλή λειτουργία του συστήματος σε μερικό φορτίο αφού ο βαθμός απόδοσης δεν εμφανίζει σημαντική μείωση ως συνάρτηση της ισχύος εισόδου. Στο διάγραμμα 4 παρουσιάζονται οι χαρακτηριστικές I-V της φωτοβολταϊκής συστοιχίας των δύο φωτοβολταϊκών στοιχείων. Κάθε στοιχείο είναι ονομαστικής ισχύος 48 Wp στους 25 oC. Στο ίδιο διάγραμμα φαίνεται επίσης η χαρακτηριστική I-V της περιστροφικής αντλίας θετικής μετατόπισης σε διάφορα ύψη και ακτινοβολίες. Από το διάγραμμα αντό μπορεί να γίνει αντιληπτό σε ποιές τιμές ακτινοβολίας είναι δυνατόν το σύστημα να αντλεί.

Η αντλία συνδέθηκε με δύο και τρία φωτοβολταϊκά στοιχεία εν παραλλήλω, (διάγραμμα 1). Επίσης συνδέθηκε ένας γραμμικός ενισχυτής ρεύματος και ένας συσσωρευτής. Η χρήση ενός γραμμικού ενισχυτή ρεύματος, βοηθά στη μετάδοση της ισχύος από τη φωτοβολταϊκή συστοιχία στο σύστημα κινητήρα-αντλίας. Η συσκευή αυτή μειώνει την τάση με ανάλογη αύξηση του ρεύματος. Το δριο λειτουργίας των είναι τα 20 A ρεύμα εισόδου και 50 V DC τάση ανοιχτού κυκλώματος. Το ρεύμα εξόδου μπορεί να φτάσει τα 45 A ενώ η τάση εισόδου έχει ρυθμιστεί μεταξύ 12 και 36 V.

3. ΑΠΟΤΕΛΕΣΜΑΤΑ

Οι τρείς τρόποι σύνδεσης της αντλίας με το φωτοβολταϊκό δοκιμάστηκαν στο Γεωπονικό Πανεπιστήμιο Αθηνών, υπό παρόμοιες συνθήκες ακτινοβολίας και υδραυλικού ύψους. Κατά τη διάρκεια των δοκιμών η αντλία αντλούσε νερό από υπόγεια δεξαμενή (στατικό ύψος αναρρόφη-

σης 2 m) το οποίο κατάθλιβε σε δεξαμενή τοποθετημένη σε ύψος 15 m. Με τη βοήθεια φωφιακού καταγραφικού συστήματος μετρούντο διάφορα μεγέθη όπως, η ηλιακή ακτινοβολία, η τάση και η ένταση της συστοιχίας, η θερμοκρασία της συστοιχίας, η τάση και το ρεύμα του κινητήρα και η παροχή. Για να συγχριθούν οι τρεις διαφορετικοί τρόποι σύνδεσης της αντλίας με το φωτοβολταϊκό, υπολογίζοταν ο συνολικός βαθμός απόδοσης του συστήματος.

3.1 Αντλία απ' ευθείας συνδεμένη με τη φωτοβολταϊκή συστοιχία

Στον Πίνακα 1 παρουσιάζονται τα αποτελέσματα των μετρήσεων όταν η αντλία είναι απ' ευθείας συνδεμένη με δύο η τρία φωτοβολταϊκά στοιχεία. Είναι φανερό ότι και στις δυο περιπτώσεις η απόδοση του συστήματος είναι χαμηλή. Η απόδοση όμως σε αντλούμενο νερό αυξάνεται κατά περίπου 52% όταν τρία στοιχεία συνδέονται παραλληλα. Τα διαγράμματα 5 και 6 δείχνουν τη συσχέτιση μεταξύ ηλιακής ακτινοβολίας, παροχής νερού και τάσης, όταν η αντλία συνδέθηκε με δύο και τρία στοιχεία αντίστοιχα. Η μεταβολή της ακτινοβολίας και της παροχής της αντλίας συνδεδεμένης με δύο και τρία φωτοβολταϊκά στοιχεία, σε δύο ημέρες δοκιμών φαίνεται στα διαγράμματα 7 και 8. Στα διαγράμματα 7 και 8 φαίνεται επίσης ότι η ακτινοβολία στην οποία ξεκινά η άντληση διαφέρει σημαντικά στις δύο συνδέσεις. Με δύο φωτοβολταϊκά στοιχεία η αντλία ξεκινά να αντλεί όταν η ηλιακή ακτινοβολία φτάσει τα 540 W/m² και σταματά να αντλεί όταν η ακτινοβολία είναι μικρότερη των 450 W/m². Η παροχή μεταβάλλεται ελαφρώς από 340 l/h σε 375 l/h. Με δύο φωτοβολταϊκά στοιχεία παραλληλα, η αντλία ξεκινά να αντλεί όταν η ακτινοβολία φτάσει τα 800 W/m² και σταματά όταν η ακτινοβολία φτάσει τα 520 W/m². Η ακτινοβολία επίσης μεταβάλλεται ελάχιστα από τα 335 l/h σε 350 l/h καθώς η ακτινοβολία αυξάνεται.

Όταν η αντλία είναι απ' ευθείας συνδεμένη με τα φωτοβολταϊκά η ακτινοβολία εκπλήσσει της αντλίας εξαρτάται κυρίως από από τον αριθμό των στοιχείων που συνδέονται εν παραλλήλω. Αύξηση των στοιχείων συνδεμένων εν παραλλήλω αυξάνει το ρεύμα και συνεπώς μειώνει την ακτινοβολία εκκίνησης, αυξάνοντας ταυτόχρονα το χρόνο λειτουργίας. Επίσης η αύξηση της τάσης λειτουργίας κάνει απαραίτητη την προστασία του κινητήρα από υπερτάσεις. Επίσης όταν η αντλία συνδέθηκε με τρία φωτοβολταϊκά και επειδή ξεκίνησε νωρίτερα και λειτουργησε σε μεγαλύτερη ταχύτητα εμφάνισε μεγαλύτερη παραγωγή σε αντλούμενο νερό.

Η υπολογισμένη αποδιδόμενη ισχύς στο μέγιστο σημείο ισχύος των φωτοβολταϊκών, η ισχύς εισόδου στον κινητήρα και η ισχύς εξόδου παρουσιάζονται στα διαγράμματα 9 και 10. Φαίνεται καθαρά ότι η ισχύς για την αντλία αυξάνεται όσο αυξάνεται η ακτινοβολία. Η αντλία λειτουργεί σε σχετικά χαμηλό βαθμό απόδοσης γεγονός που δικαιολογείται επειδή η αντλία έχει μεγαλύτερο ονομαστικό ύψος από αυτό στο οποίο δοκιμάστηκε. Η απόδοση μειώνεται περαιτέρω καθώς η ακτινοβολία αυξάνεται.

Ο βαθμός απόδοσης της συστοιχίας (διαγράμματα 9 και 10) είναι χαμηλός και γίνεται χαμηλότερος καθώς η ηλιακή ακτινοβολία αυξάνεται, λόγω της απομάκρυνσης από το σημείο μέγιστης ισχύος το οποίο συνεχώς μεταβάλλεται λόγω μεταβολής της ακτινοβολίας και της θερμοκρασίας. Ο χαμηλός βαθμός απόδοσης εξηγείται επίσης από το γεγονός ότι υπάρχουν μεγάλες απώλειες στο σύστημα λόγω του ότι η άντληση γίνεται μόνον όταν η ακτινοβολία υπερβαίνει μια καθορισμένη τιμή. Η χαμηλή απόδοση των φωτοβολταϊκών και του υποσυστήματος αντλίας-κινητήρα οδηγούν σε χαμηλή απόδοση όλο το σύστημα. Η μέγιστη υπολογιζόμενη ισχύς εξόδου Ra σε ακτινοβολία H1 και θερμοκρασία στοιχείου T1, χωρίς να λαμβάνονται υπ' όψη οι απώλειες των εν παραλλήλω συνδεμένων στοιχείων, υπολογίστηκε χρησιμοποιώντας την εξίσωση (1).

$$P_a = N P_{mo} [1 - \beta(T_1 - T_0)] H_1 / H_0 \quad (1)$$

P_{mo} =Μέση μέγιστη ισχύς στοιχείου στην ηλιακή ακτινοβολία αναφοράς, H_0 , (1 kW/m²) και στη θερμοκρασία αναφοράς T_0 , (25 °C)

β =Συντελεστής θερμοκρασίας σε % ανά °C, (0.35% / °C)

N=Αριθμός στοιχείων συνδεμένων παραλληλών.

3.2 Αντλία συνδεμένη με τη Φ/Β συστοιχία μέσω Γραμμικού Ενισχυτή Ρεύματος, (GER)

Στον Πίνακα 1 φαίνονται τα στοιχεία που αφορούν τη λειτουργία του συστήματος φωτοβολταϊκού-αντλίας θετικής μεταπότισης όταν η σύνδεση γίνεται δια μέσω GER. Το σύστημα αποτελείται από δύο φωτοβολταϊκά στοιχεία εν παραλλήλω. Η ύπαρξη GER επιτρέπει την αντλία να ξεκινά νωρίτερα το πρωί και να συνεχίζει τη λειτουργία της αργότερα το απόγευμα. Με τον τρόπο αυτό ο χρόνος λειτουργίας της αντλίας αυξάνεται κατά περίπου 80%. Το σύστημα εμφανίζει καλύτερο βιαθμό απόδοσης και δυνατότητα άντλησης περισσότερου νερού, σε σχέση με την απ' ευθείας σύνδεση με 2 ή τρία φωτοβολταϊκά. Πιο συγκεκριμένα η αντλία συνδεμένη με GER παρουσιάζει 53% αύξηση στην παραγωγή νερού σε σχέση με την απ' ευθείας σύνδεση με δύο φωτοβολταϊκά και 3% σε σχέση με τα τρία φωτοβολταϊκά. Η χρήση του GER βελτιώνει το βιαθμό απόδοσης του φωτοβολταϊκού γιατί προσαρμόζει καλύτερα τα ηλεκτρικά χαρακτηριστικά του φωτοβολταϊκού με αυτά του πινακίδα της αντλίας αυξάνοντας ταυτόχρονα το συντελέστη χρησιμοποίησης του φωτοβολταϊκού.

Πίνακας 1. Αποτελέσματα λειτουργίας.

Είδος	2 συστοιχία	3 συστοιχία	2 στοιχεία και GER
Ηλιακή ακτινοβολία, (Wh/day m ²)	7252	7335	7244
Παραγωγή Φ/Β, (Wh/day)	295	492	458
Ενέργεια σε κινητήρα-αντλία, (Wh/day)	280	460	449
Όγκος νερού που αντλήθηκε, (l/day)	1840	2805	2880
Παραγωγικότητα στοιχείων, (kWh/day kWp)	3.1	3.4	4.7
Μέση απόδοση Φ/Β, (%)	5.1	5.6	7.9
Μέση απόδοση κινητήρα-αντλίας (%)	30.7	28.7	30.1
Συνολική απόδοση συστήματος, (%)	1.5	1.7	2.3

Η σχέση μεταξύ ηλιακής ακτινοβολίας, παροχής και τάσης εισόδου φαίνεται στο διάγραμμα 11. Στο διάγραμμα 12 φαίνεται η μεταβολή της ακτινοβολίας και της παροχής ως συνάρτηση του χρόνου. Η αντλία ξεκινά όταν η ακτινοβολία υπερβεί τα 300 W/m². Καθώς η ακτινοβολία μεταβάλλεται από τα 300 W/m² στα 600 W/m² η παροχή αυξάνεται με ταχύ ρυθμό. Κατόπιν, η παροχή αυξάνεται ελαφρά σε σχέση με την ακτινοβολία και φτάνει περίπου στα 300 l/h. Η υπολογισμένη ισχύς εξόδου (εξίσωση 1) στο σημείο μέγιστης ισχύος, η ισχύς εισόδου στο σύστημα αντλίας-κινητήρα και η ισχύς εξόδου της αντλίας φαίνεται στο διάγραμμα 13.

Φαίνεται καθαρά ότι ο ρυθμός αύξησης της ισχύος εισόδου αντλίας-κινητήρα είναι μεγαλύτερος από αυτόν της ισχύος εξόδου της αντλίας, καθώς η ακτινοβολία αυξάνεται. Αυτό συνεπάγεται μικρότερο βαθμό απόδοσης του συστήματος αντλίας-κινητήρα σε υψηλές ακτινοβολίες. Παρόλο που ζητησμοποιήθηκε ΓΕΡ οι απώλειες του φωτοβιολταϊκού παραφένουν υψηλές λόγω του ότι το σύστημα εξακολουθεί να λειτουργεί μακριά από το σημείο μέγιστης ισχύος. Στο διάγραμμα 14 παρουσιάζεται το προφίλ ρεύματος της φωτοβιολταϊκής συστοιχίας και του κινητήρα. Ο ΓΕΡ, που εξασφαλίζει περισσότερο αντλούμενο νερό, επίσης εξασφαλίζει το ρεύμα εκκίνησης του κινητήρα.

3.3 Σύστημα με συσσωρευτή

Τα δεδομένα για σύστημα άντλησης με φωτοβιολταϊκά και συσσωρευτή φαίνονται στον Πίνακα 2. Η απόδοση του συστήματος φτάνει το 2.4%. Το κλάσμα επαναφόρτισης του συσσωρευτή είναι σχετικά υψηλό, 1.25. Αυτό δείχνει ότι ο συσσωρευτής φορτίζεται επαρκώς για το συγκεκριμένο φορτίο. Το διάγραμμα 15 δείχνει ότι σχεδόν όλη η παραγόμενη ενέργεια μπορεί να χρησιμοποιηθεί από το σύστημα κινητήρα-αντλίας και συσσωρευτή. Επιπροσθέτως, οι απώλειες λόγω λειτουργίας μακριά από το σημείο μέγιστης ισχύος, είναι μικρότερες σε σχέση με τα δύο προηγούμενα συστήματα. Στο διάγραμμα 16 παρουσιάζεται το προφίλ της παροχής και της τάσης για μια παλαιοπαιδινή ημέρα. Η ύπαρξη συσσωρευτή διασφαλίζει τη σταθερότητα στην τάση. Μεταβολές καθώς η τάση λειτουργίας αυξάνεται, η παροχή αυξάνεται διότι η ταχύτητα περιστροφής αυξάνεται. Το σύστημα αυτό αποδίδει περίπου 3.5% περισσότερο σε σχέση με το σύστημα με ΓΕΡ.

Πίνακας 2. Αποτελέσματα λειτουργίας με συσσωρευτή.

Είδος	2 στοιχεία
Ηλιακή ακτινοβολία, (Wh/day m ²)	7167
Παραγωγή Φ/B, (Wh/day)	497
Ενέργεια σε κινητήρα-αντλία, (Wh/day)	446
Όγκος νερού που αντλήθηκε, (l/day)	2985
Παραγωγικότητα στοιχείων, (kWh/day kWp)	5.2
Μέση απόδοση Φ/B, (%)	8.7
Μέση απόδοση κινητήρα-αντλίας, (%)	31.3
Συνολική απόδοση συστήματος, (%)	2.4
Κλάσμα επαναφόρτισης συσσωρευτή	1.25

4. ΟΙΚΟΝΟΜΙΚΗ ΑΞΙΟΛΟΓΗΣΗ ΤΩΝ ΣΥΣΤΗΜΑΤΩΝ

Τα τρία συστήματα συγκρίθηκαν εφαρμόζοντας ανάλυση κύκλου λειτουργίας 20 ετών. Το αποτέλεσμα είναι η καθαρή παρούσα αξία και το ολικό και κόστος λειτουργίας των συστημάτων για την συγκεκριμένη περίοδο.

Για την οικονομική ανάλυση με τη μέθοδο του discounted cash flow θεωρήθηκαν τα παρακάτω δεδομένα:

- Χρόνος ζωής των συστημάτων
 - Discount rate
 - Επίσιο κόστος λειτουργίας και συντήρησης
 - Κόστος κεφαλαίων εξαρτημάτων
 - Κόστος αντικατάστασης εξαρτημάτων

- Κόστος αντικατάστασης εξαιρημάτων
Επιπλέον, η συμπεριφορά του συστήματος προσδοκιάσθηκε για ένα έτος ούτως ώστε να υπολογισθεί το κόστος ανά μονάδα αντλούμενου νερού. Το αποτέλεσμα ήταν ο σύγκος του αντλούμενου νερού. Τα βασικά δεδομένα φαίνονται στον Πίνακα 3. Για ύψος άντλησης 17 m τα αποτελέσματα της ανάλυσης φαίνονται στον Πίνακα 4. Η ανάλυση δείχνει ότι το πιο οικονομικό σύστημα είναι αυτό με τον συσσωρευτή. Από το διάγραμμα 17 γίνεται φανερό ότι η προσδοκόμενη ελάπτωση του κόστους των φυτοβιολαϊκών επιδρά θετικά στο κόστος ανά μονάδα αντλούμενου νερού.

Πίνακας 3. Δεδομένα για οικονομική αξιολόγηση.

Οικονομική ζωή συστήματος	20 χρόνια
Discount rate	10 %
Κόστος λειτουργίας και συντήρησης	2 % επί του κόστους επένδυσης
Αρχικό κόστος επένδυσης (Α)	1050 ECU
Αρχικό κόστος επένδυσης (Β)	1280 ECU
Αρχικό κόστος επένδυσης (Γ)	1390 ECU

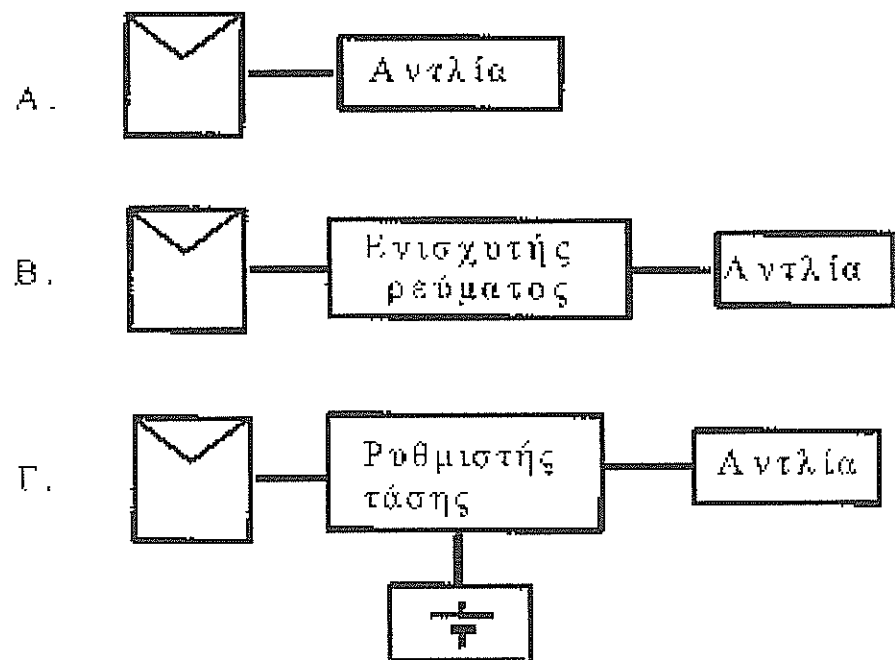
Πάνω από 4. Οικογενειακή αξιολόγηση του συστήματος και κόστος νερού.

Σύστημα	NVP ₂₀	Επήμετρο κόστος (ECU)	Όγκος νερού (m ³ /year)	Κόστος νερού (ECU/m ³)
(A)	1374	161	335	0.48
(B)	1725	202	720	0.28
(Γ)	1931	227	910	0.25

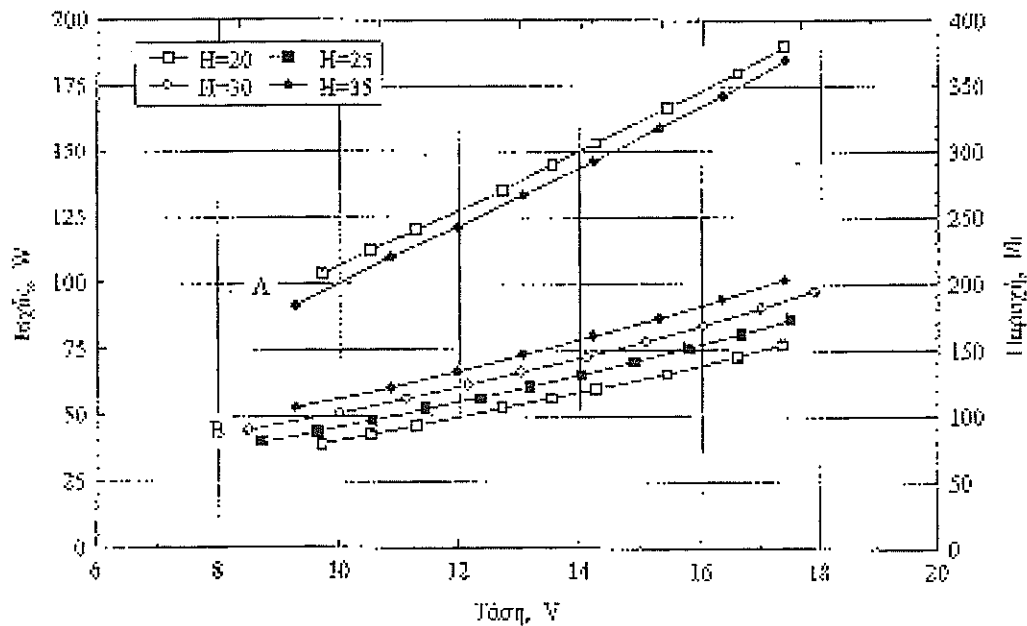
5. ΣΥΜΠΕΡΑΣΜΑΤΑ

5. ΣΥΜΠΕΡΑΣΜΑΤΑ

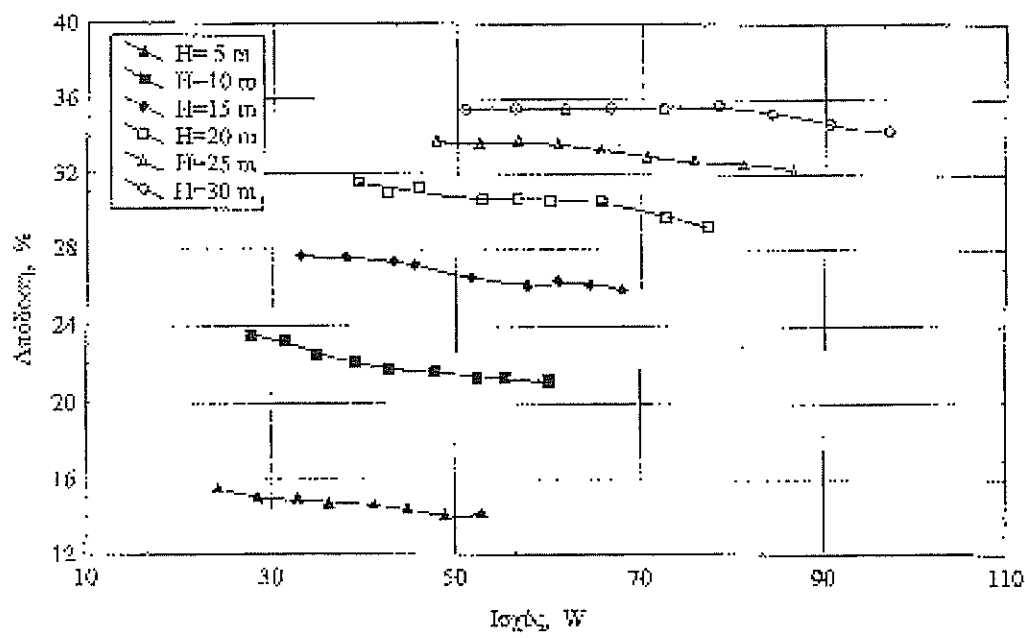
Η μέθοδος άντλησης με χοήση αντλίας θετικής μετατόπισης είναι αξιόπιστη και αποδοτική για χοήση άρδευσης. Η χοήση ΓΕΡ ή η αύξηση του αριθμού των φωτοβολταϊκών στοιχείων που συνδέονται εν πυραλλήλω ή η χοήση συσσωρευτή, αυξάνουν δραστικά τον όγκο του αντλούμενου νερού. Η συμπεριφορά του συστήματος δύμας φαίνεται να βελτιώνεται μόνον όταν στο σύστημα ανσωματώνεται ΓΕΡ ή συσσωρευτής, αφού αυξάνει την απόδοση του συστήματος.



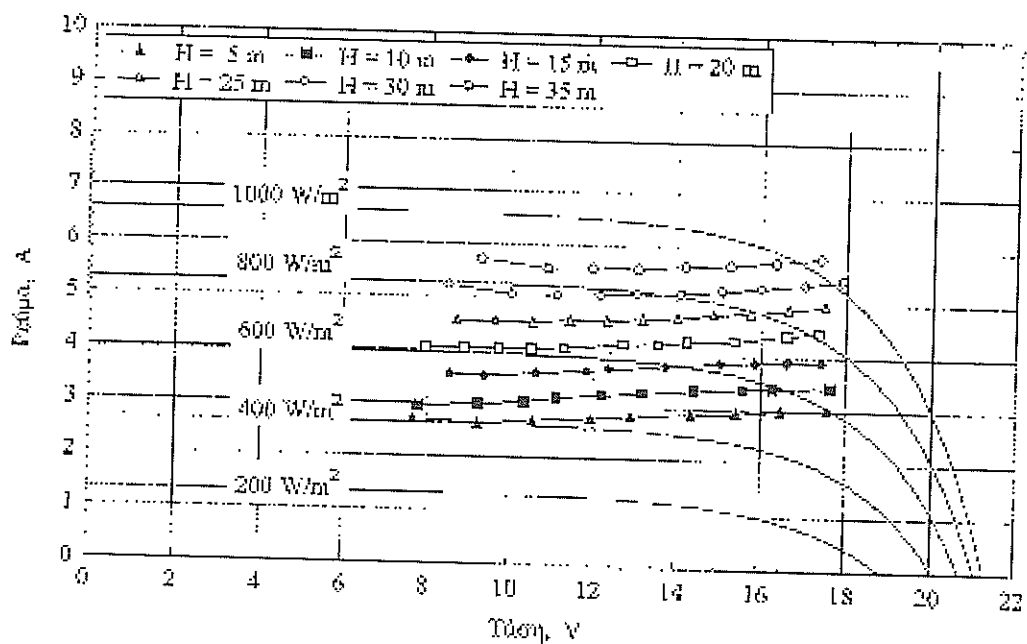
Διάγραμμα 1. Διατάξεις συστήματον, Α, Β, και Γ και φωτογραφία με τον κινητήρα και την αντλία.



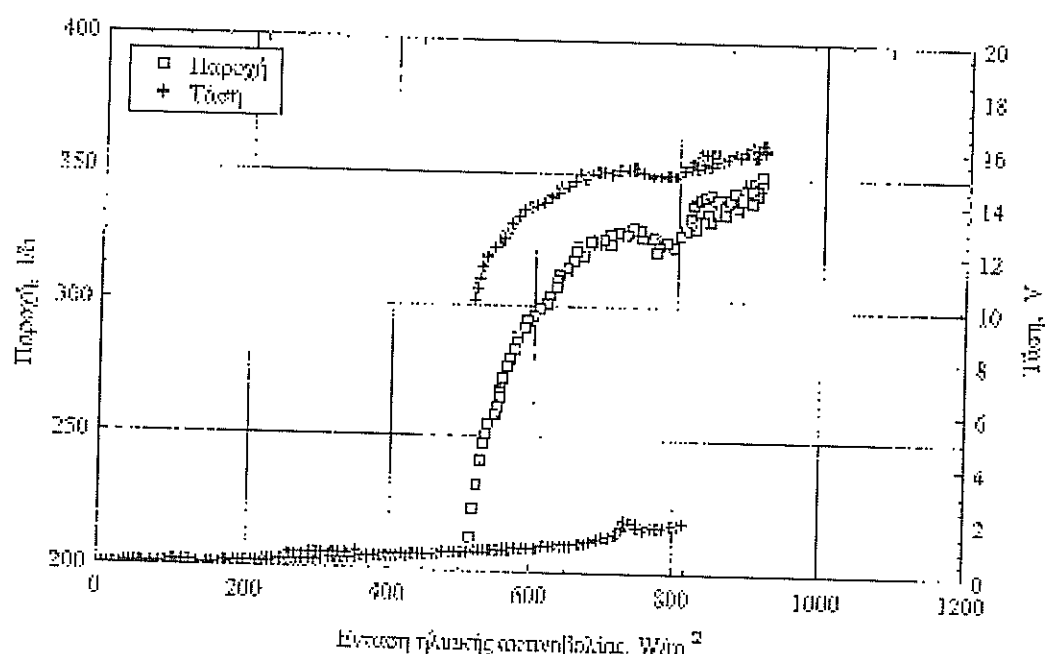
Διάγραμμα 2. Ισχύς εισόδου (A) και εξόδου (B) της αντλίας ως συνάρτηση της τάσης λειτουργίας και το συνολικό ύψος της αντλίας.



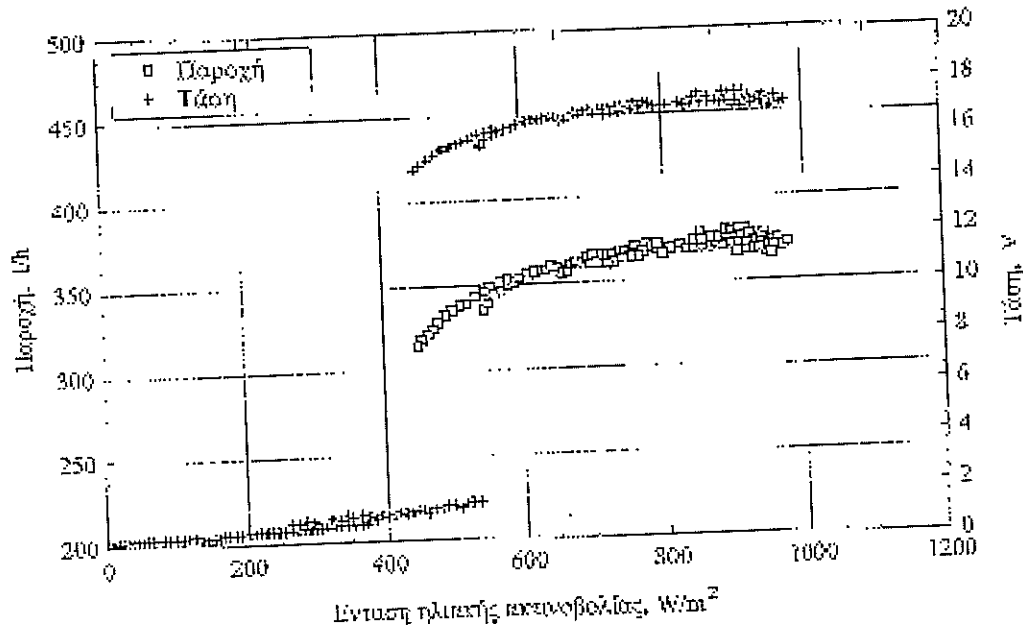
Διάγραμμα 3. Απόδοση του συστήματος κινητήρα-αντλίας σε συνάρτηση με την ισχύ εισόδου για διάφορα ολικά ύψη αντλίας.



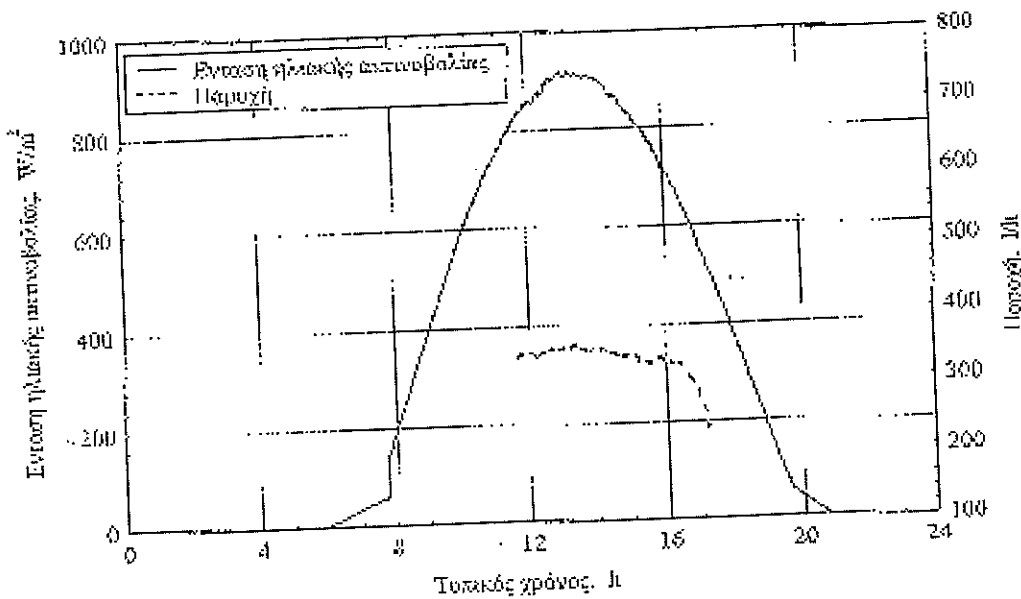
Διάγραμμα 4. Χαρακτηριστικές I-V της φωτοβολταϊκής συστοιχίας και του κινητήρα της αντλίας για διάφορα ολικά ύψη αντλίας.



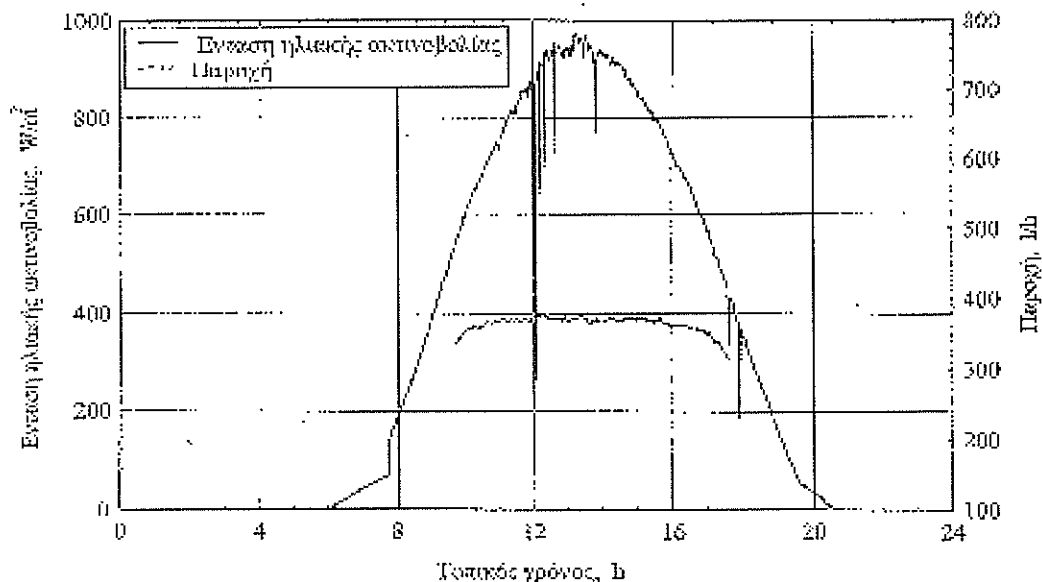
Διάγραμμα 5. Παροχή νερού και τάση εισόδου κινητήρα ως συνάρτηση της έντασης της ηλιακής ακτινοβολίας, για σύνδεση της αντλίας με δύο στοιχεία.



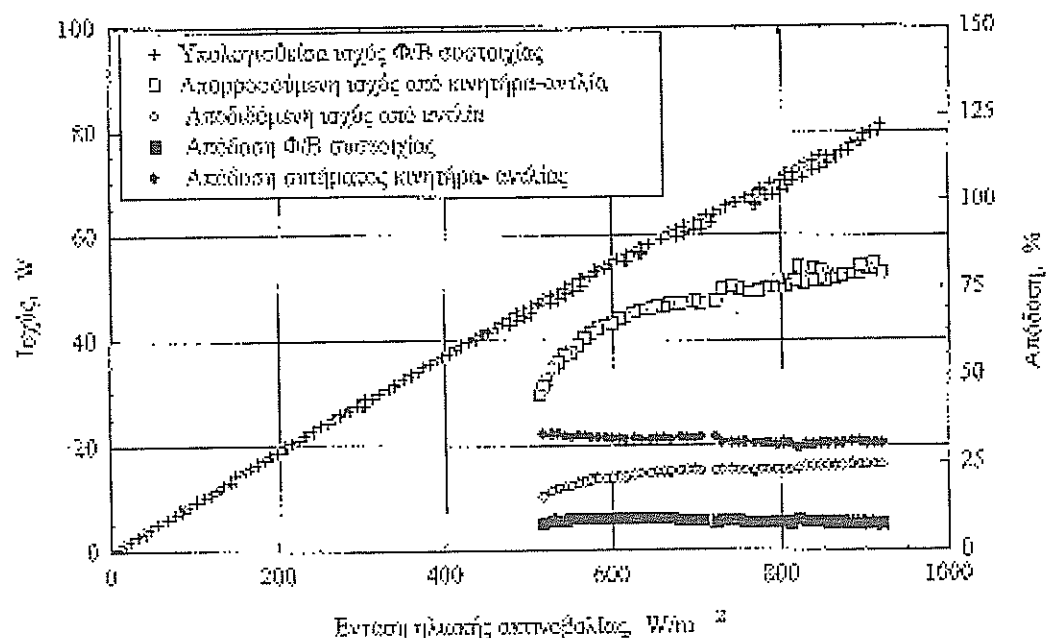
Διάγραμμα 6. Παροχή νερού και τάση εισόδου κινητήρα ως συνάρτηση της έντασης της ηλιακής απενδιθελέως για σύνδεση της αντλίας με τρία στοιχεία.



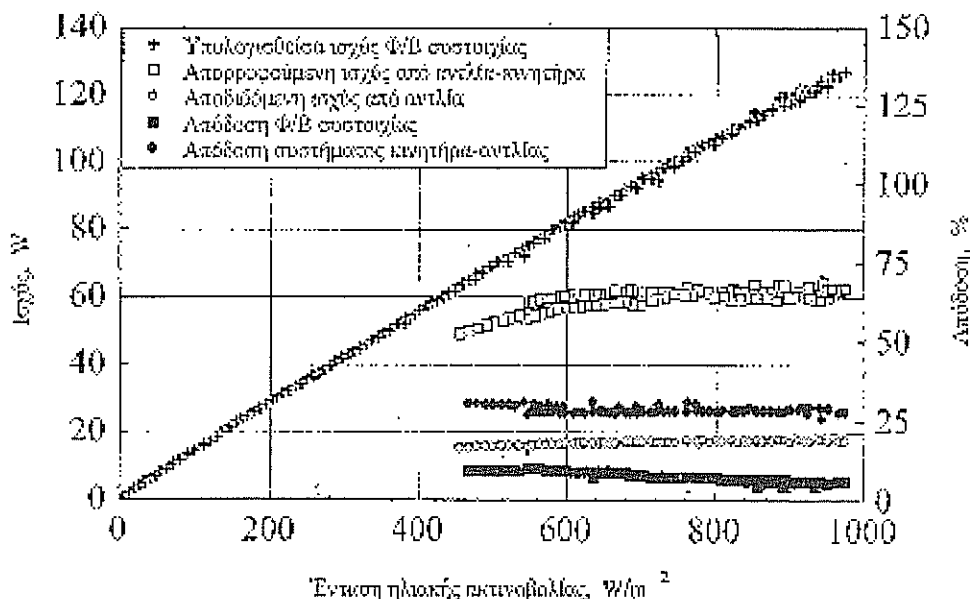
Διάγραμμα 7. Μεταβολή της έντασης της ηλιακής απενδιθελέως και της παροχής νερού κατά τη διάρκεια της ημέρας για σύνδεση αντλίας με δύο στοιχεία.



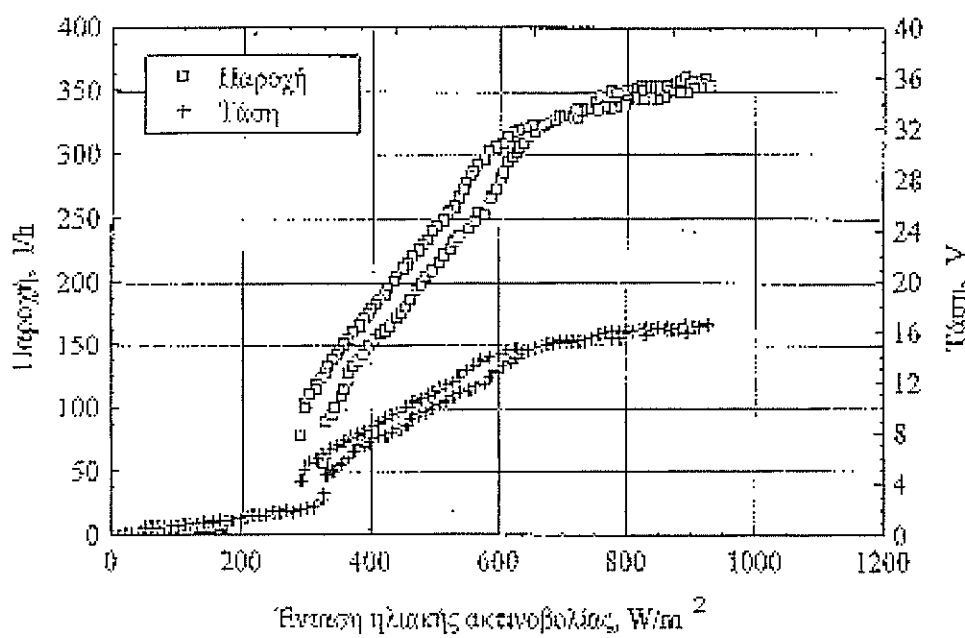
Διάγραμμα 8. Μεταβολή της έντασης της ηλιακής ακτινοβολίας και της παφοχής νερού κατά τη διάρκεια της ημέρας για σύνδεση αντλίας με τρία στοιχεία.



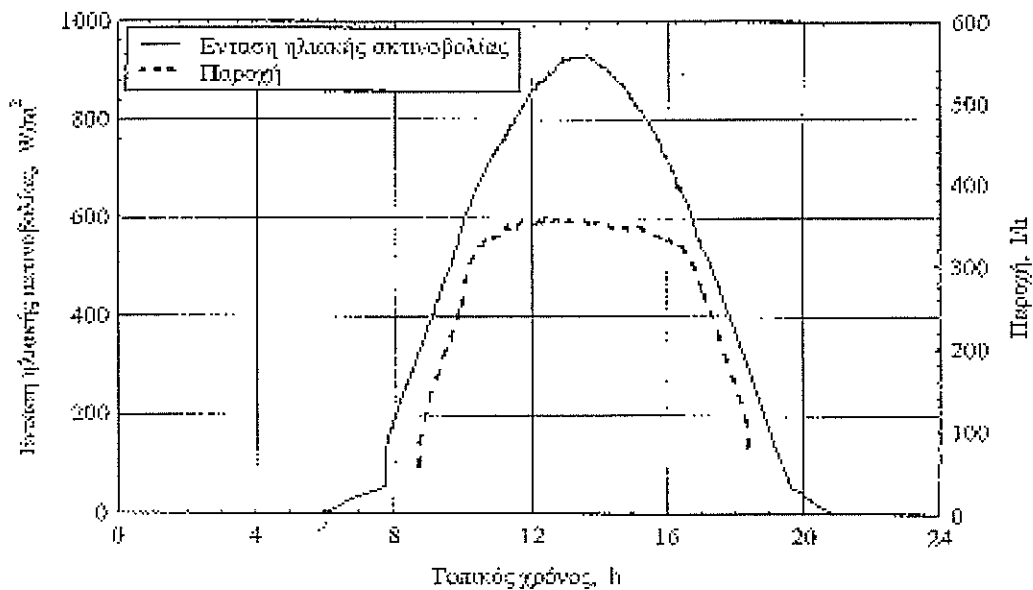
Διάγραμμα 9. Αποδόσεις και υπολογισμένη αποδιδόμενη ισχύς φωτοβολταϊκής συστοιχίας, ισχύς εισόδου κινητήρων-αντλίας και ισχύς εξόδου αντλίας ως συνάρτηση της έντασης της ηλιακής ακτινοβολίας στη συστοιχία για σύνδεση αντλίας με δύο στοιχεία.



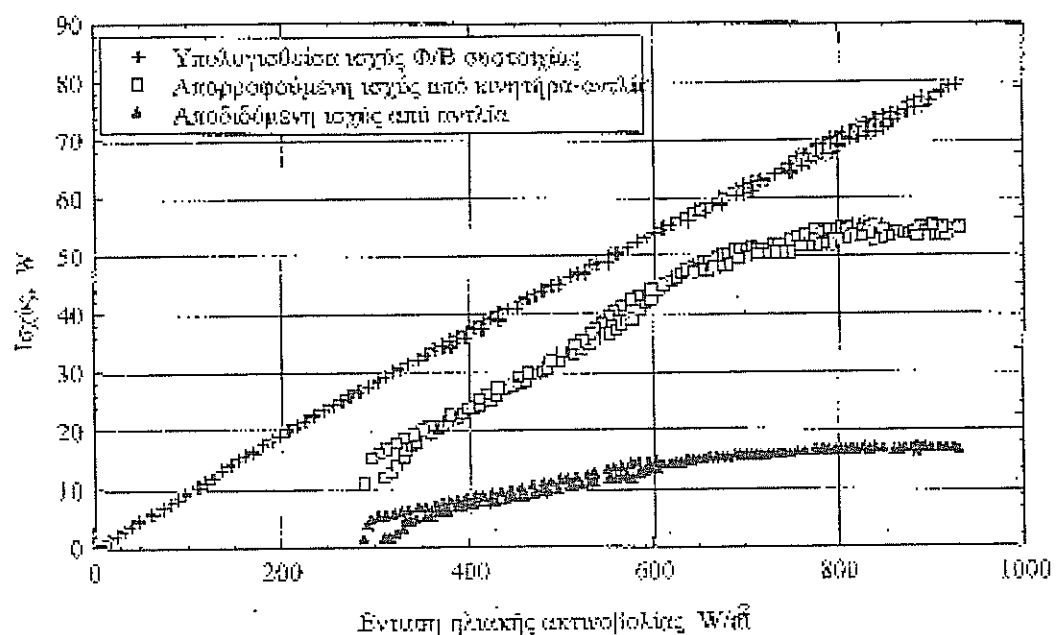
Διάγραμμα 10. Αποδόσεις και υπολογισμένη αποδιδόμενη ισχύς φωτοβιολατήρις συστοιχίας, ισχύς εισόδου κινητήρα-αντλίας και ισχύς εξόδου αντλίας ως συνάρτηση της έντασης της ηλιακής ακτινοβολίας στη συστοιχία για σύνδεση αντλίας με τρία στοιχεία.



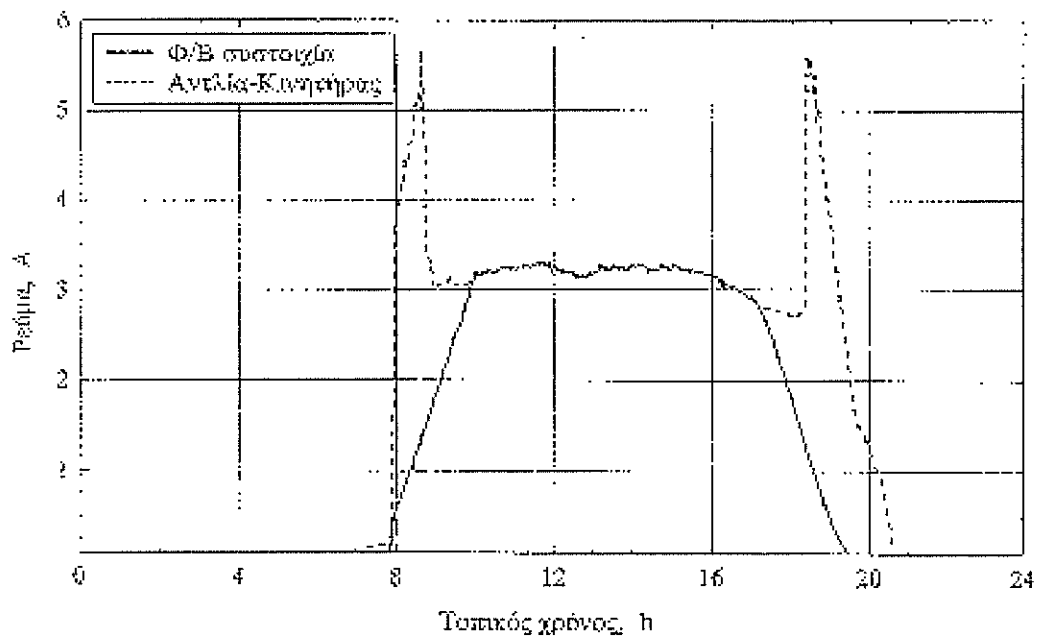
Διάγραμμα 11. Παροχή νερού και τάση εισόδου στον κινητήρα της αντλίας ως συνάρτηση της έντασης της ηλιακής ακτινοβολίας.



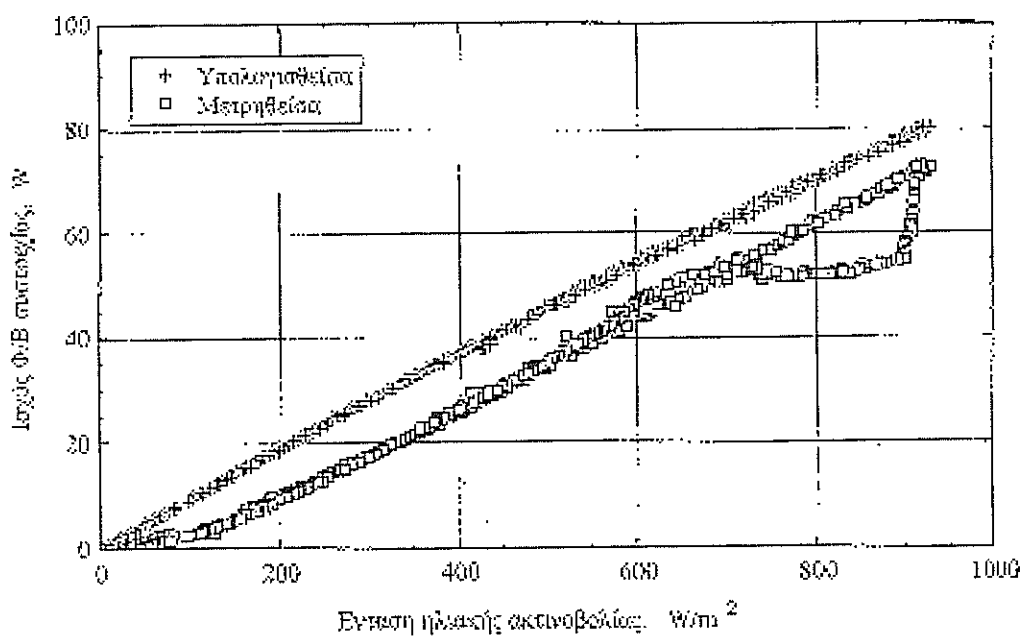
Διάγραμμα 12. Παροχή νερού και ένταση της ηλιακής ακτινοβολίας στη διάρκεια της ημέρας.



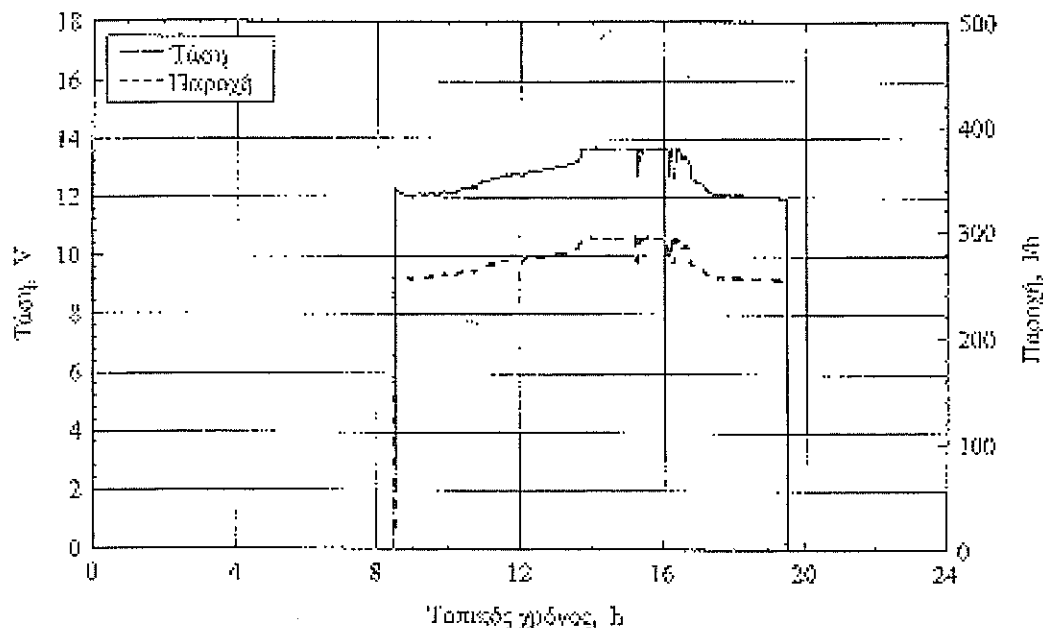
Διάγραμμα 13. Υπολογισμένη ισχύς εξάδου φωτοβιολαζής συστοιχίας, ισχύς εισάδου κινητήρα αντλίας και ισχύς εξάδου αντλίας ως συνάρτηση της έντασης ηλιακής ακτινοβολίας στη συστοιχία.



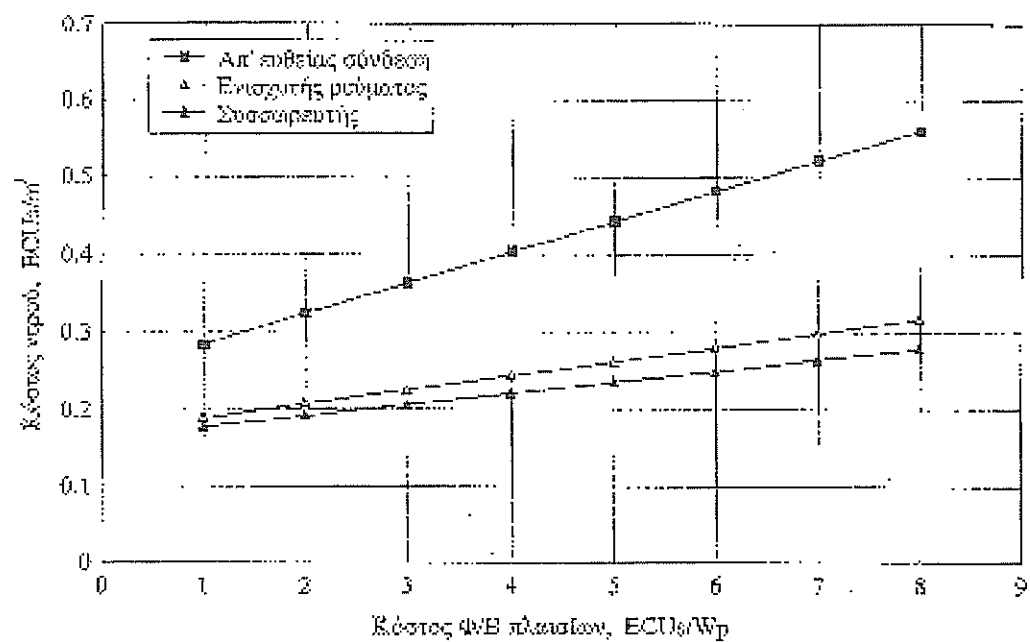
Διάγραμμα 14. Μεταβολή ρεύματος φωτοβιολατήρις συστοιχίας
και κινητήρα κατά τη διάρκεια της ημέρας.



Διάγραμμα 15. Υπολογισμένη και μετρημένη ιαχύς εξόδου φωτοβιολατήρις συστοιχίας
ως συνάρτηση της έντασης της ηλιακής ακτινοβολίας.



Διάγραμμα 16. Μεταβολή της τάσης λειτουργίας του κινητήρα της αντλίας και της πιστολής νερού κατά τη διάρκεια μιας καλοκαιρινής ημέρας.



Διάγραμμα 17. Επέδραση του κόστους των φωτοβιολταϊκών στο κόστος ανά μονάδα όγκου αντλούμενου νερού.

ΤΥΠΟΠΟΙΗΣΗ ΚΑΙ ΣΥΝΑΦΕΙΣ ΔΡΑΣΤΗΡΙΟΤΗΤΕΣ

Γεώργιος Γκιθώνας

Μηχανολόγος - Μηχανικός
Διεύθυνση Τυποποίησης ΕΛΟΤ

ΠΡΟΛΟΓΟΣ

Η ολοκλήρωση της εσωτερικής αγοράς προϋποθέτει ότι τα προϊόντα δύνανται να κυκλοφορούν ελεύθερα στο εσωτερικό της Ευρωπαϊκής Ένωσης. Η αρχή αυτή διατυπώνεται στο κείμενο της συνθήκης της Ρώμης και έχει εφαρμοσθεί ειρηνέως από το Δικαστήριο των Ευρωπαϊκών Κοινοτήτων. Η αμοιβαία αναγνώριση των εθνικών κανόνων που ισχύουν για τα προϊόντα, έχει παρά ταύτα μια εξαιρεση, όταν μια βασική απαίτηση, όπως είναι η προστασία της υγείας του περιβάλλοντος ή των καταναλωτών δικαιολογεί εθνική νομοθετική ρύθμιση.

Στην περίπτωση αυτή επιδιώκεται η εναρμόνιση, σε κοινοτικό επίπεδο, αυτών των κανόνων και η νέα προσέγγιση που νιοθετήθηκε από την Ένωση κατά τα έτη 1984-85 στον τομέα της εναρμόνισης των τεχνικών προδιαγραφών βασίζεται στην εναρμόνιση των βασικών απαιτήσεων - με βάση ένα υψηλό επίπεδο προστασίας - και ωθείται από μια κοινοτική οδηγία που παραπέμπει στα πρότυπα για τις προδιαγραφές κατασκευής. Μια τέτοια παραπομπή στα πρότυπα δεν είναι προφανώς δυνατή παρά μόνον αν στον εν λόγω τομέα είναι δυνατή η τυποποίηση.

Η τεχνική τυποποίηση συνιστά λοιπόν ουσιώδη ενέργεια για την υλοποίηση της εσωτερικής αγοράς της Ευρωπαϊκής Ένωσης. Η σημασία που έχει αποδοθεί σε αυτή από τις δημόσιες διοικήσεις είναι ένα πρόσφατο φαινόμενο σ' ένα μεγάλο αριθμό κρατών-μελών, αλλά η διακήρυξη των αρχηγών κρατών και κυβερνήσεων της Ένωσης τον Ιούνιο του 1987, με την οποία ο τομέας αυτός ορίζεται ως τομέας προτεραιότητας, αντικατοπτρίζει σαφώς το ζωτικό ρόλο της τυποποίησης στα πλαίσια της διαδικασίας ολοκλήρωσης της εσωτερικής αγοράς.

ΕΙΣΑΓΩΓΗ

Μία από τις σημαντικότερες δραστηριότητες της Ευρωπαϊκής Ένωσης συνίσταται στην εξάλειψη των τεχνικών εμποδίων και στην εναρμόνιση των εθνικών νομοθεσιών. Τα πρότυπα είναι στενά συνδεδεμένα με αυτά τα δύο θέματα και, παραδόξως, εκ πρώτης όψεως, κατά τρόπο αντιφατικό: θεωρούνται, δηλαδή, ως πηγή των εμποδίων και ταυτόχρονα σαν μέσο εναρμόνισης.

Βέβαια, το παραδόξο αυτό υπάρχει μόνο επιφανειακά, αλλά βασίζεται στο γεγονός ότι τα πρότυπα θεωρήθηκαν κατά το αρχικό στάδιο, κυρίως σε κοινοτικό επίπεδο, σαν πηγή εμποδίων χρησιμοποιούμενα από τα κράτη μέλη για την προστασία των αγορών τους, αυτή δε η εικόνα είναι συνδεδεμένη με την ιδέα των προτύπων. Οι δημόσιες διοικήσεις δεν έχουν λοιπόν σκεφθεί εξαρχής να χρησιμοποιήσουν τα ευρωπαϊκά πρότυπα σαν μέσο ανταγωνιστικότητας και οικοδόμησης μιας ενιαίας εσωτερικής αγοράς, η οποία θεωρείται ότι αποτελεί τον ουσιώδη στόχο και σε εθνικό επίπεδο.

Η αντίληψη αυτή ότι τα πρότυπα αποτελούν τεχνικά εμπόδια έχει ειπυργώς μεταβληθεί τα τελευταία έτη, και αρχετά κείμενα και κοινοτικές αποφάσεις, από το έτος 1980, ανεγνωρίζουν στα πρότυπα θετικό ρόλο στα πλαίσια της κοινοτικής δράσης. Κατά αυτόν τον τρόπο η τυποποίηση έ-

χει περάσει σε χρονικό διάστημα μερικών ετών από την σφαίρα του επουσιώδους στο επίκεντρο της κοινωνικής μέριμνας, σαν όργανο για την δημιουργία μιας εσωτερικής αγοράς ανταγωνιστής σε παγκόσμια κλίμακα και όχι περιορισμένης στα εδαφικά της όρια.

Έγγραφο εγκεκριμένο από έναν αρμόδιο ή αναγνωρισμένο οργανισμό

Ο αρμόδιος ή αναγνωρισμένος οργανισμός μπορεί να είναι εθνικός, περιφερειακός ή διεθνής. Αυτός είναι αναγνωρισμένος είτε από τις δημόσιες διοικήσεις (μέσω συνάριθμεως συμβάσεως ή συνθήκης, ή ενός κειμένου νομοθετικού ή κανονιστικού χαρακτήρα), είτε απλά μέσω συμφωνίας των οικονομικών εταίρων, με ή χωρίς επίσημη αναγνωριση, από τους οποίους δημιουργείται στις περισσότερες περιπτώσεις. Αυτός διαφροδοποιείται από τους οργανισμούς των παραγωγών, για να διατηρεί την αναγκαία ουδετερότητα και ανεξαρτησία.

Οι οργανισμοί αυτοί είναι καταρχήν οι εθνικοί οργανισμοί τυποποίησης, μέλη του ISO. Ο διεθνής αυτός οργανισμός που ιδρύθηκε το 1947 και συμπεριλαμβάνει τους εθνικούς οργανισμούς τυποποίησης 88 χωρών (72 μέλη και 16 αντεπιστέλλοντα μέλη, ιδιότητα που αντιστοιχεί στο καθεστώς του παρατηρητή σε διεθνείς οργανισμούς, μέλη των οποίων είναι οι κυβερνήσεις των χωρών). Υπάρχει μόνο ένα μέλος από κάθε χώρα. Ο ISO έχει δημιουργεί, μέχρι σήμερα, περισσότερα από 8.000 διεθνή πρότυπα που έχουν καταρτιστεί από 2.100 περίπου φρογείς τυποποίησης.

Διάφοροι τύποι προτύπων

- **Διαρθρωτική τυπολογία:** εδώ διακρίνονται πρότυπα μέσων και πρότυπα αποτελεσμάτων.

Το πρότυπο μέσων περιγράφει κατά τρόπο ακριβή τα χρησιμοποιούμενα μέσα για να εμφανίζει το αντικείμενο του τα απαιτούμενα χαρακτηριστικά. Τα πρότυπα αυτά είναι συνεπώς πολύ λεπτομερή, δύνανται δε να καταλαγουν στη λεπτομερέστατη περιγραφή των διαφορετικών στάδιων παραγωγής, όλων των τεχνικών χαρακτηριστικών και των χρησιμοποιουμένων υλικών και συστατικών.

Το πρότυπο αποτελεσμάτων αρκείται στο να περιγράφει κατά τρόπο ακριβή τα απαιτούμενα χαρακτηριστικά του αντικειμένου του, χωρίς να ασχολείται με την εσωτερική σύσταση, ούτε και με μέσα τα οποία πρέπει να χρησιμοποιηθούν για να επιτευχθεί το επιθυμητό αποτέλεσμα.

- **Διοικητική τυπολογία:** πρόκειται για την διάρριση των προτύπων βάσει των διοικητικών τους ταξινομήσεων στις διάφορες εθνικές συλλογές προτύπων.
- **Λειτουργική τυπολογία:** πρόκειται για τη διάρριση των διαφορετικών τύπων των προτύπων βάσει του περιεχομένου των.

Κύρια Πρότυπα

Πρότυπα βάσης: πρότυπα με γενική εφαρμογή, τα οποία περιέχουν γενικές διατάξεις και τα οποία εφαρμόζονται είτε σε ιδιαίτερους τομείς, είτε γενικότερα (η κατηγορία αυτή περιέχει για παράδειγμα τα πρότυπα μέτρων).

Πρότυπα ορολογίας: πρότυπα που περιέχουν αποκλειστικά όρους και συνοδεύονται συνήθως από τον προσδιορισμό τους, μερικές φορές δε από σύμβολα, επεξηγηματικές σημειώσεις, εικονογραφήματα, παραδείγματα.

Πρότυπα προϊόντων: πρότυπα που καθορίζουν το σύνολο ή μέρος των απαιτήσεων τις οποίες πρέπει να πληροί ένα προϊόν, ή μια ομάδα προϊόντων για να ανταποκρίνεται στο στόχο του.

Πρότυπα δοκιμών: πρότυπα περιέχοντα τις μεθόδους δοκιμών που στόχο έχουν να εξετάσουν την συμφωνία ενός προϊόντος ή ενός υλικού προς τα απαιτούμενα από αυτό χαρακτηριστικά. Τα πρότυπα δύνανται να περιλαμβάνουν επίσης τις σχετικές με την εν λόγω δοκιμή διατάξεις, όπως τη δειγματοληψία, τη χρήση, τις στατιστικές μεθόδους.

Πρότυπα ασφαλείας: πρότυπα περιέχοντα τις διατάξεις που αποσκοποποιούν στην εγγύηση της ασφαλείας των προϊόντων, των ζώων και των αγαθών.

Πρότυπα υπηρεσίας: πρότυπα που καθορίζουν το σύνολο ή μέρος των απαιτήσεων με τις οποίες πρέπει να συμφωνεί μία υπηρεσία για την εκπλήρωση του σκοπού της.
Πρότυπα σχετικά με τον μηχανισμό ή τον προγραμματισμό.

Το πρότυπο στο πλαίσιο των ενδοβιομηχανικών και εμπορικών σχέσεων

Τα πρότυπα χρησιμοποιούνται σχεδόν σε όλες τις φάσεις της οικονομικής ζωής: όταν μια επιχείρηση δημιουργεύει πρόσκληση για υποβολή προσφορών ή αναζητεί προμηθευτές, ενεργεί βάσει προτύπων που καθορίζουν το προϊόν το οποίο επιθυμεί να αγοράσει, και τα οποία, ενδεχομένως, να συμπληρώνονται από πρόσθετες προδιαγραφές, που εξαρτώνται από ειδικές ανάγκες της. Αυτή θα ρυθμίσει το ποσό της παραγγελίας της μέσω τυποποιημένων διαδικασιών (επιταγές, μεταφορά σε λογαριασμό...). Η διαδικασία παραγωγής στο εσωτερικό της επιχείρησης, οι δοκιμές, τα μέτρα, ο έλεγχος ποιότητας είναι επίσης οργανωμένα βάσει προτύπων, χωρίς να αναφέρουμε την αλυσίδα της διανομής των εμπορευμάτων, τυποποιημένη από τη φάση της συσκευασίας τους εως την τοποθέτηση τους στα ανάλογα τμήματα των πολυκαταστημάτων, για παράδειγμα.

Η χρησιμοποίηση του προτύπου στις δημόσιες ρυθμίσεις

Για να αποφευχθεί η λεπτομερειακή περιγραφή στις διάφορες κανονιστικές διατάξεις των απαιτήσεων, τις οποίες πρέπει να πληροί η μία ή η άλλη κατηγορία προϊόντων, οι δημόσιες διοικήσεις, σε πολλές χώρες, βασίζονται πολύ συχνά στα πρότυπα. Αυτή η εφαρμογή της τυποποίησης σε κανονιστική διάταξη μπορεί να έχει πολλές μορφές:

- το πρότυπο καθίσταται υποχρεωτικό
- το πρότυπο συνίσταται ή προτείνεται μέσω της οδού της "αναφοράς" ή "παραπομπής" στα πρότυπα. Η τεχνική της αναφοράς παρουσιάζει διάφορες παραλλαγές αναλόγως των χωρών που αφορά και τους επιδιωκόμενους στόχους. Αυτή μπορεί να συνίσταται σε αναφορά σε συγκεκριμένο πρότυπο, χρονολογημένο, σ' αυτή δε την περίπτωση θα πρέπει, στην συνέχεια, να τροποποιήσουν το περιεχόμενο της κανονιστικής διάταξης, αν και όταν το πρότυπο αναθεωρηθεί, ή σε αναφορά που αφήνει περιθώρια παρεκλίσεων και τότε στη ρύθμιση αναφέρεται ο αριθμός που αντιστοιχεί στο ή στα πρότυπα, χωρίς την ένδειξη της ημερομηνίας. Τέλος, μπορεί να πρόκειται για γενική αναφορά στα πρότυπα υπό μορφή "αναγνωρισμένων τεχνικών προδιαγραφών", σύμφωνα με την ευχερώς χρησιμοποιούμενη έκφραση. Το σύνολο των προτύπων που αναφέρονται στο αντικείμενο που προβλέπεται από τη σχετική ρύθμιση θεωρείται ότι επιτρέπει στα προϊόντα που τηρούν τα πρότυπα αυτά να είναι σύμφωνα με την εν λόγω ρύθμιση.

Για να εξαντλήσουμε το θέμα μας πρέπει να αναφέρουμε ότι τα πρότυπα έχουν επίσης πολύ συχνά χρησιμοποιηθεί από δημόσιους οργανισμούς όταν προβαίνουν σε προμηθειες, είτε διότι αυτοί υποχρεούνται εκ του νόμου, είτε διότι προσφέρουν στη μέθοδο αυτή εκούσια

Πρότυπα και πιστοποίηση

Η πιστοποίηση είναι η πράξη η οποία συνίσπαται στην επιβεβαίωση του γεγονότος ότι ενα-
προϊόν, ή μία υπηρεσία, είναι σύμφωνο προς τις καθορισμένες τεχνικές προδιαγραφές (και συ-
νεπώς, κατά κύριο λόγο, προς τα πρότυπα).

ΜΕΣΑ ΤΥΠΟΠΟΙΗΣΗΣ ΣΤΗΝ ΕΥΡΩΠΗ

Τα εθνικά μέσα

Κοινά σημεία και διαφορές των συστημάτων τυποποίησης

Οι οργανισμοί τυποποίησης είναι τα κύρια όργανα εφαρμογής της πολιτικής της τυποποίησης στις χώρες της Ευρώπης. Οι περισσότεροι από αυτούς έχουν ιδρυθεί στις αρχές του 20ου αιώνα, και ως δε στο χρονικό διάστημα μεταξύ των δύο παγκοσμίων πολέμων.

Οι οργανισμοί αυτοί εμφανίζουν επιπλέον μεγάλες ομοιότητες, αφενός ως προς τη νομική μορφή τους, αφετέρου ως προς τους τρόπους λειτουργίας τους: σχεδόν πάντα πρόκειται για ενώσεις, οι οποίες προέρχονται από επαγγελματικές οργανώσεις και εκπονούν και δημιουρεύουν πρότυπα βάσει μιας διαδικασίας που εγγυάται τη δυνατότητα συμφετοχής όλων των ενδιαφερόμενων οικονομικών εταίρων. Οι δημισιες διοικήσεις αναγνωρίζουν τα κατ' αυτόν τον τρόπο εκπονηθέντα πρότυπα σαν εθνικά πρότυπα, τα οποία προνομιούχο τρόπο σαν μέσα αναφοράς στις συγγραφές υποχρεώσεων των δημισιών συμβάσεων, ή ακόμη σαν πρότυπα αναφοράς για την ειραρημογή των τεχνικών προδιαγραφών.

Αντίθετα προς το σύστημα που επικρατεί στις ΗΠΑ και στον Καναδά, όπου εκποντώδες οργανισμοί δημοσιεύουν πρότυπα, καθένας στον τομέα του, οι χώρες της Ευρώπης ευνοούν συγκεντρωτικές δομές, με εξαίρεση δύο, και αυτό για ιστορικούς λόγους, του τομέα της ηλεκτροτεχνικής.

Η κατάσταση αυτή και η ομοιότητα με τους τρόπους λειτουργίας των εθνικών οργανισμών συ-έχει επιτρέψει στην Ευρωπή να διαδραματίσει ένα "ρόλο-κλειδί" στα πλαίσια του διεθνούς συ-στήματος τυποποιήσης εφαρμοδοτούντας, σε ευρωπαϊκό επίπεδο, τα εθνικά σχήματα:

- οι κατά τομέα "τεχνικές επιτροπές" στις οποίες συμμετέχουν εμπειρογνώμονες επί των εγγεγραμένων στο πρόγραμμα εργασίας θεμάτων, με σκοπό την εκπόνηση σχεδίων προτύπου. Οι εν λόγω εμπειρογνώμονες δεν αμείβονται και αποστέλλονται κυρίως από τις βιομηχανίες για τις οποίες η τυποποίηση αποτελεί μια ζωτικής σημασίας επένδυση για την ανάπτυξή τους.
 - ένα σύστημα δομών στήριξης, ευρέως αποκεντρωμένο, μεταξύ εθνικών οργανισμών, που εξασφαλίζει τα απαραίτητα μέσα διοικητικής μέρκυνας και επιπλεόν μέσω ενός συστήματος δημόσιας έρευνας την υλοποίηση του σχεδίου.
 - ένα σύστημα ευπορικών δημιουργεύσεων και διανομών των εκπονηθέντων προτύπων.

ΤΟ ΕΥΡΩΠΑΪΚΟ ΣΥΣΤΗΜΑ ΤΥΠΟΠΟΙΗΣΗΣ

EN CEN/CENELEC

Η CEN/CENELEC Η Ευρωπαϊκή Επιτροπή Τυποποίησης (CEN) είναι μία διεθνής ένωση, συσταθείσα σύμφωνα με τις διατάξεις του βελγικού δικαίου, μη κερδοσκοπικού χαρακτήρα, οι δραστηριότητες της δε εκτείνονται στον επιστημονικό και τεχνικό τομέα. Το καταστατικό της δημοσιεύτηκε στις 29 Ιανουαρίου 1976 στο "Moniteur Belge". Η CEN ιδρύθηκε το έτος 1961, από το 1975 δε έχει την έδρα της στις Βρυξέλλες, όπου συστεγάζεται με τον οργανισμό CENELEC που έχει αυτίστουχες αρμοδιότητες. Οι δύο αυτοί οργανισμοί τυποποίησης αποτελούν αυτό που αποκαλείται "Κοινός Ευρωπαϊκός Οργανισμός Τυποποίησης".

Το εμφανές μέρος της CEN είναι η κεντρική γραμματεία της που αρχιμεί τριάντα περίπου άτομα, με τάση διαρκούς αλληλογνωμόνης υπόψη της ανάπτυξης της ευρωπαϊκής τυποποίησης. Εντούτοις πρέπει να υπογραμμίσουμε ότι η κεντρική της γραμματεία δεν αποτελεί παρά μόνο την "օρατή" κορυφή του παγόβιουν CEN", το οποίο συντίθεται από δεκαεξά εθνικούς οργανισμούς τυποποίησης των κρατών μελών της Ευρωπαϊκής Ένωσης και της Ευρωπαϊκής Ένωσης Ελευθέρων Συναλλαγών (ΕΖΕΣ).

Η λειτουργία της Ευρωπαϊκής τυποποίησης

Η εσωτερική δομή της CEN είναι παρόμοια με της CENELEC, με την διαφορά ότι στην δεύτερη η γενική συνέλευση εκτελεί ταυτόχρονα και καθήκοντα διοικητικού συμβουλίου.

Η λειτουργία της ευρωπαϊκής τυποποίησης περιγράφεται στον κοινό εσωτερικό κανονισμό των CEN/CENELEC, ο οποίος έχει τεθεί σε ισχύ την 1η Ιανουαρίου 1987.

Τα κυριότερα τεχνικά χαρακτηριστικά της ευρωπαϊκής τυποποίησης αναπτύσσονται παρακάτω:

- Οι τεχνικές εργασίες διεξάγονται, κατά κανόνα, από τις τεχνικές επιτροπές των οποίων η γραμματεία έχει ανατεθεί σε κάποιο από τα μέλη της CEN/CENELEC, σύμφωνα με συγκεκριμένους κανόνες κατανομής αρμοδιοτήτων, αλλά πάντα σε εθελοντική βάση και, κατά το δυνατόν, βάσει της αρχής ότι η γραμματεία στην Ευρώπη έχει ανατεθεί στο μέλος που ασκεί, ταυτόχρονα, τα καθήκοντα γραμματείας του οργανισμού ISO και της CEI αντιστοίχως.
- Για να εξασφαλιστεί ο σχεδιασμός, ο προγραμματισμός και ο συντονισμός των δραστηριοτήτων της ευρωπαϊκής τυποποίησης σ' ένα δεδομένο τομέα, ο οργανισμός CEN/CENELEC μπορεί επίσης να συστήσει τις "επιτροπές προγραμματισμού", οι οποίες επιφορτίζονται με την εκπόνηση ενός προγράμματος ευρωπαϊκής τυποποίησης. Το σημείο αυτό αποτελεί μια καινοτομία εισαγθείσα από το νέο εσωτερικό κανονισμό και σκοπό έχει να λαμβάνει υπόψη, κατά τον καλύτερο τρόπο, τις προτεραιότητες που έχουν τεθεί στα πλαίσια της οικοδόμησης της Ευρώπης.
- Για να εξασφαλιστεί η μεγαλύτερη δυνατή αποτελεσματικότητα των ευρωπαϊκών προτύπων και να μην σπαταλάται άσκοπα το ανθρώπινο δυναμικό και οι οικονομικοί πόροι, τα μέλη των CEN/CENELEC υποχρεούνται να μην δημιουργούν εθνικά πρότυπα που αναφέρονται στο ίδιο αντικείμενο επί του οποίου ταυτόχρονα εργάζονται ευρωπαϊκοί οργανισμοί τυποποίησης.

Η μεταρροπή σε εθνικά πρότυπα για την εφαρμογή στις συναλλαγές

Όπως αναφέραμε ανωτέρω, η ευρωπαϊκή τυποποίηση βασίζεται επί της αρχής του συντονισμού των εθνικών μηχανισμών. Ξάρη λοιπόν σ' αυτούς τους τελευταίους, τα ευρωπαϊκά πρότυπα βρίσκουν την κύρια εφαρμογή τους σαν πρότυπα στα οποία εφαρμόζεται πλήρως το καθεστώς που ισχύει για τα εθνικά πρότυπα, από τα οποία δεν διακρίνονται παρά μόνο από την ονομασία και τον κωδικό αναφοράς: EN, BSI EN, ELOT EN ...

ΣΥΜΠΕΡΑΣΜΑ

Μετά την γενική αυτή εξέταση της τυποποίησης στην Ευρώπη, όσον αφορά την έννοια που έχει, τους φρορείς που την καθιέρωσαν και τον τρόπο με τον οποίο χρησιμοποιείται, θα είναι πλέον αντιληπτό ότι από την τυποποίηση αυτή εξαρτάται η επιτυχία της νέας μεθόδου προσέγγισης που εφαρμόζεται στην Ευρώπη για την τεχνική εναρμόνιση των νομοθεσιών. Εντούτοις, δεν πρέπει να νομίσουμε ότι το 1992, που συνδέθηκε με την ημερομηνία ολοκλήρωσης της "Μεγάλης

Εσωτερικής Αγοράς" στην Ευρώπη, σήμανε το τέλος των προσπαθειών στον τομέα της ευρωπαϊκής τυποποίησης. Η τυποποίηση αποτελεί κατ' εξοχήν δραστηριότητα που πρέπει να αναπροσαρμόζεται συνεχώς στην τρέχουσα κατάσταση. Η τυποποίηση είναι αποτελεσματική μόνο εάν συμβαδίζει με την εξέλιξη των τεχνολογιών και την οργάνωση της οικονομίας.